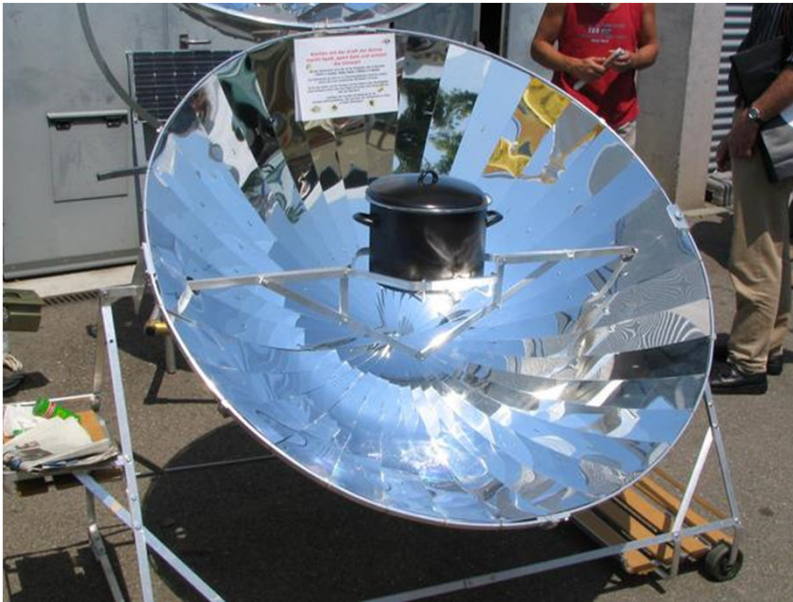


# Ενέργεια και Περιβάλλον

## *Ηλιακή ενέργεια*



Νίκος Μαμάσης και Νίκος Κατσουλάκος  
Τομέας Υδατικών Πόρων και Περιβάλλοντος, Εθνικό Μετσόβιο Πολυτεχνείο  
Αθήνα 2019

## Διάρθρωση παρουσίασης: *Ηλιακή ενέργεια*

- Ηλιακή ακτινοβολία
- Ηλιακή ακτινοβολία στην ατμόσφαιρα
- Αξιοποίηση ηλιακής ενέργειας
- Φωτοβολταϊκά συστήματα
- Στρεβλώσεις στο ενεργειακό μίγμα

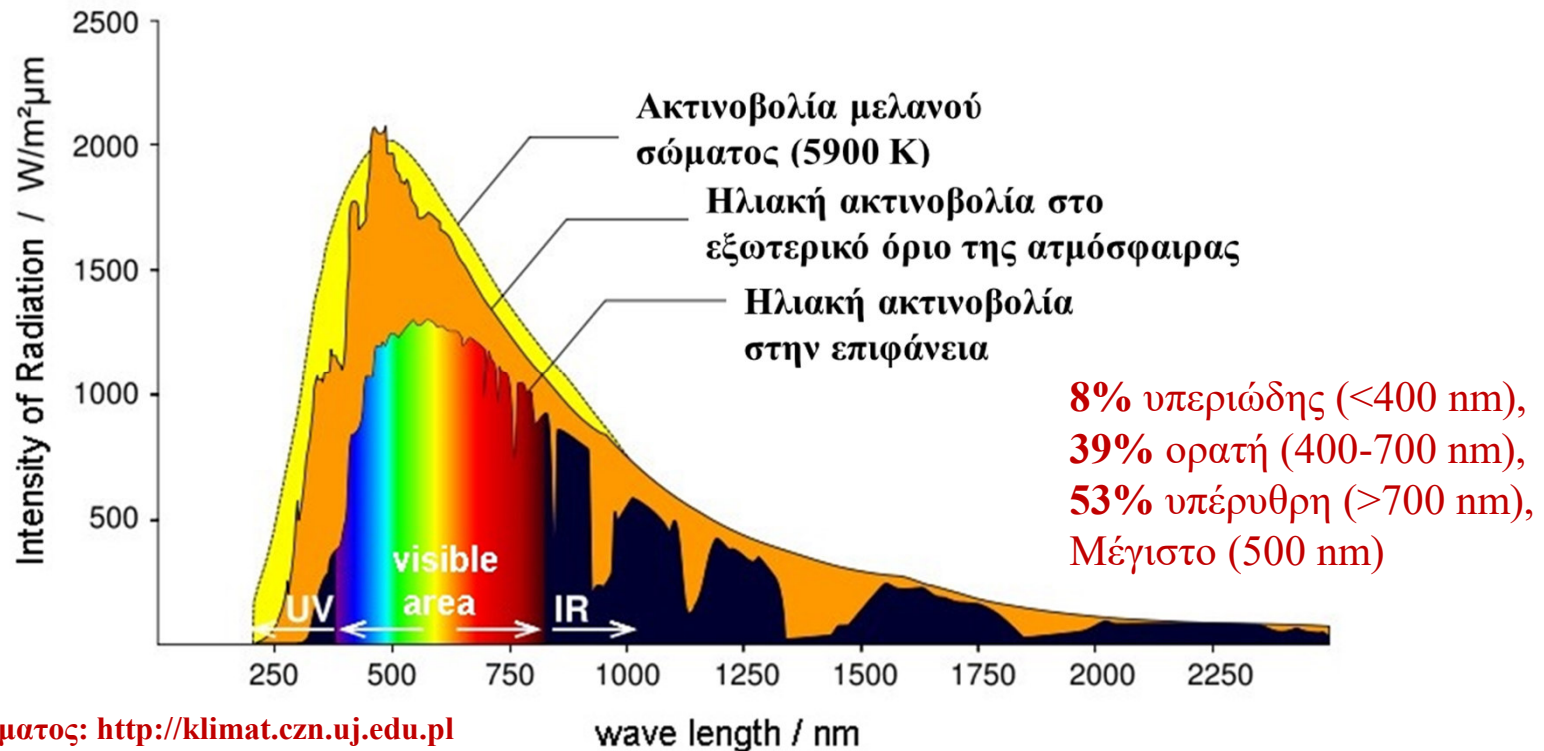
# Ηλιακή ακτινοβολία

## Γενικά χαρακτηριστικά του ήλιου

Ο ήλιος (τυπικό αστέρι του γαλαξία μας), είναι μια πυρακτωμένη αεριώδης μάζα που αποτελείται κυρίως από υδρογόνο και ήλιο. Η θερμοκρασία στον πυρήνα υπολογίζεται σε  $14 \cdot 10^6$  °C. Η ηλιακή ενέργεια προέρχεται από θερμοπυρηνικές αντιδράσεις (σύντηξη ατόμων υδρογόνου σε ήλιο) που γίνονται στον πυρήνα του ηλίου. Η ενέργεια μεταφέρεται στην επιφάνεια με ακτινοβολία ή με κατακόρυφη μεταφορά του υδρογόνου.

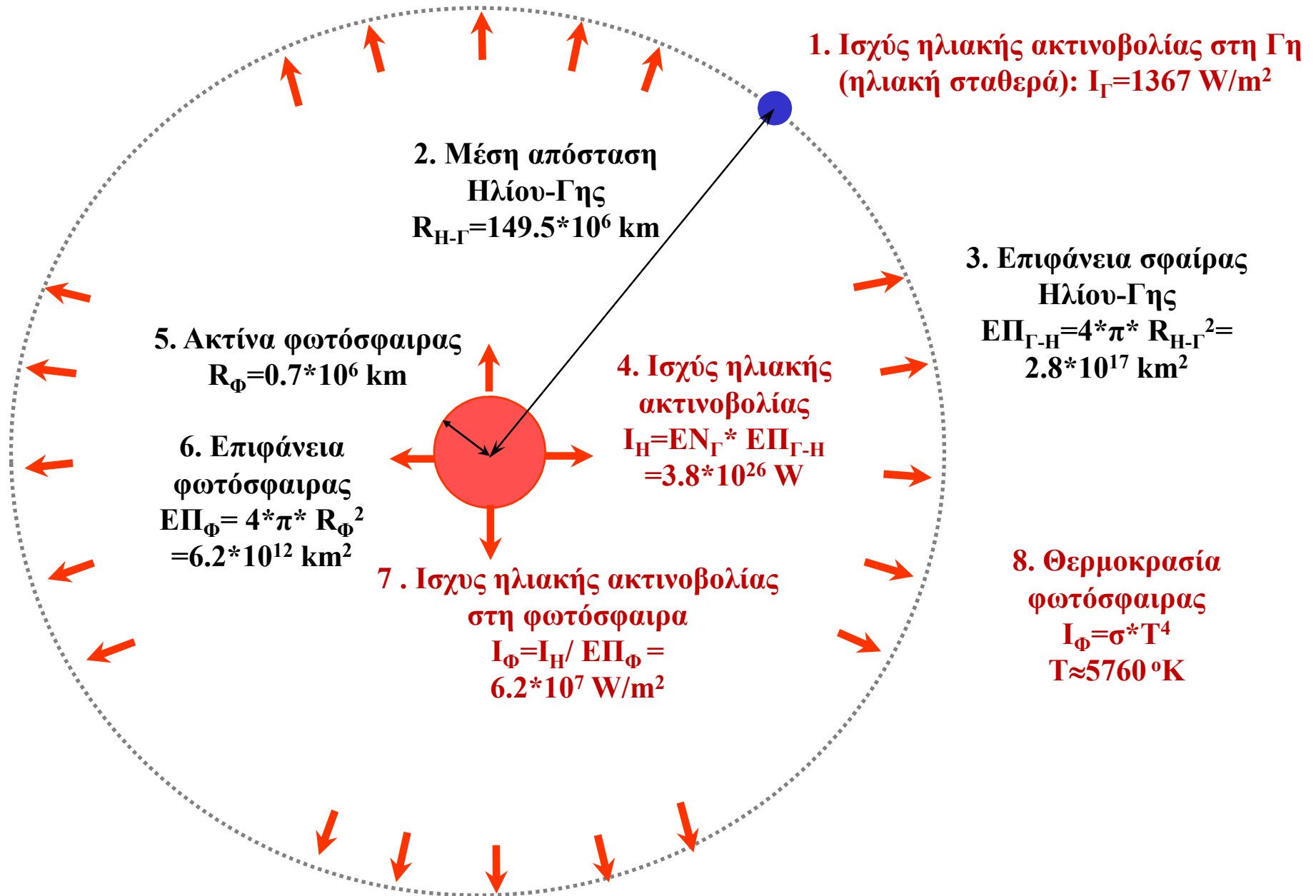
Η **φωτόσφαιρα** είναι ένα στρώμα σε ακτίνα  $7 \cdot 10^5$  km, πάχους μερικών εκατοντάδων km και θερμοκρασία περίπου 6000 K. Εκπέμπει στην ορατή και υπέρυθρη περιοχή του φάσματος.

Η **χρωμόσφαιρα** είναι ένα στρώμα πάχους 2500 km, πάνω από τη φωτόσφαιρα, με θερμοκρασία που αυξάνει από 4300 K στο κάτω όριο μέχρι  $10^5$  K στο εξωτερικό όριο. Τα αέρια στην εξωτερική **χρωμόσφαιρα** εκπέμπουν στην μακρά υπεριώδη περιοχή του φάσματος (<100 nm). Η ακτινοβολία αυτή εξαρτάται από την ηλιακή δραστηριότητα αλλά πρακτικά είναι το **1 προς 100.000** της συνολικής ακτινοβολίας



# Ηλιακή ακτινοβολία

## Βασικά μεγέθη



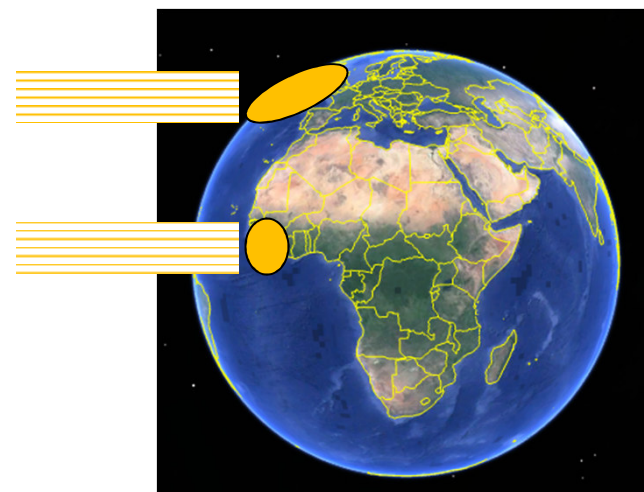
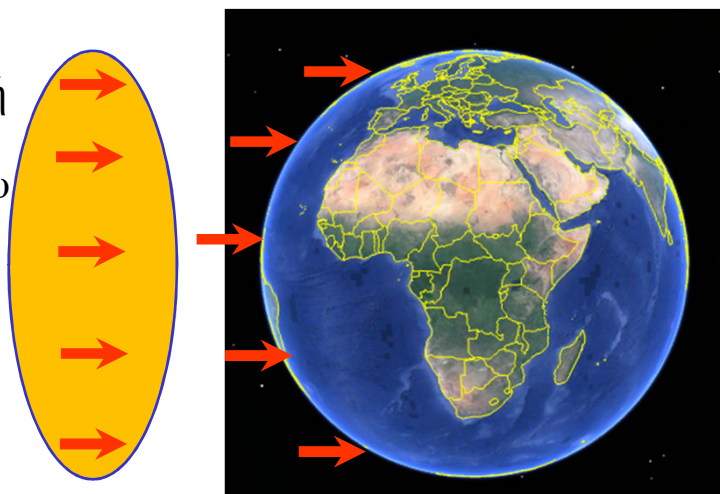
# Ηλιακή ακτινοβολία

## Βασικά μεγέθη

Η επιφάνεια γής, υπολογίζεται ως  $4\pi R^2$   
 Άρα η μέση ηλιακή ισχύς είναι που πέφτει στη Γη είναι το 25% της ηλιακής σταθερά.

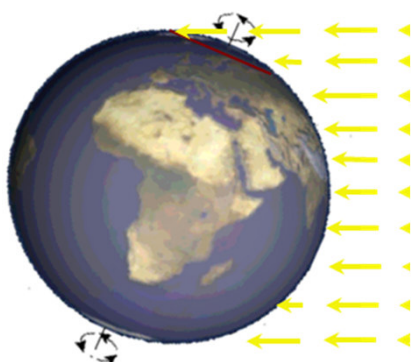
Υπάρχει ανισοκατανομή στο χώρο ανάλογα με το γεωγραφικό πλάτος αφού η ίδια ηλιακή πέφτει σε μεγαλύτερη επιφάνεια

Σε κάθε χρονική στιγμή η ακτινοβολία που θα πέσει ( $1367 \text{ W/m}^2$ ) στη Γη αντιστοιχεί σε επιφάνεια κύκλου  $\pi R^2$

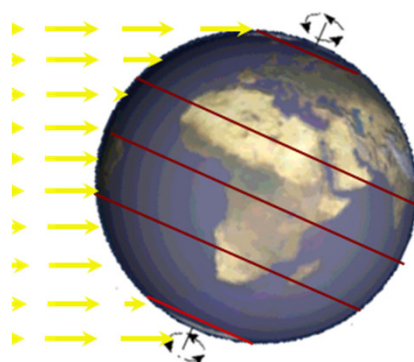


### Ηλιοστάσια

22/6

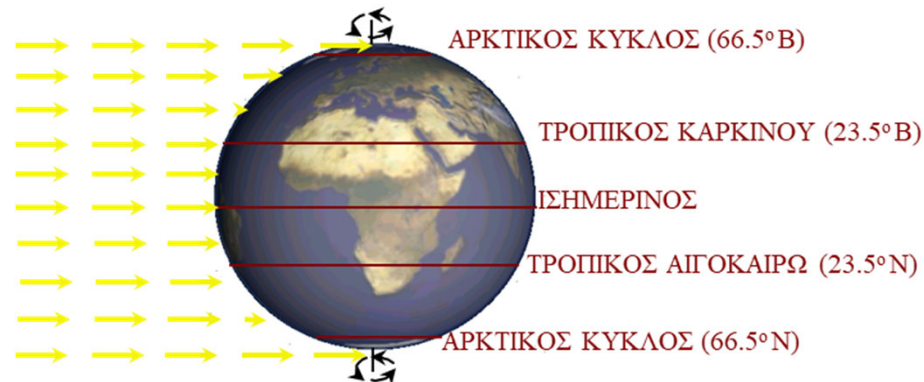


22/12



Στις  $45^\circ$  η έκταση είναι 40% μεγαλύτερη στις  $60^\circ$  διπλάσια και στις  $80^\circ$  εξαπλάσια σε σχέση με τον ισημερινό

### Ισημερίες

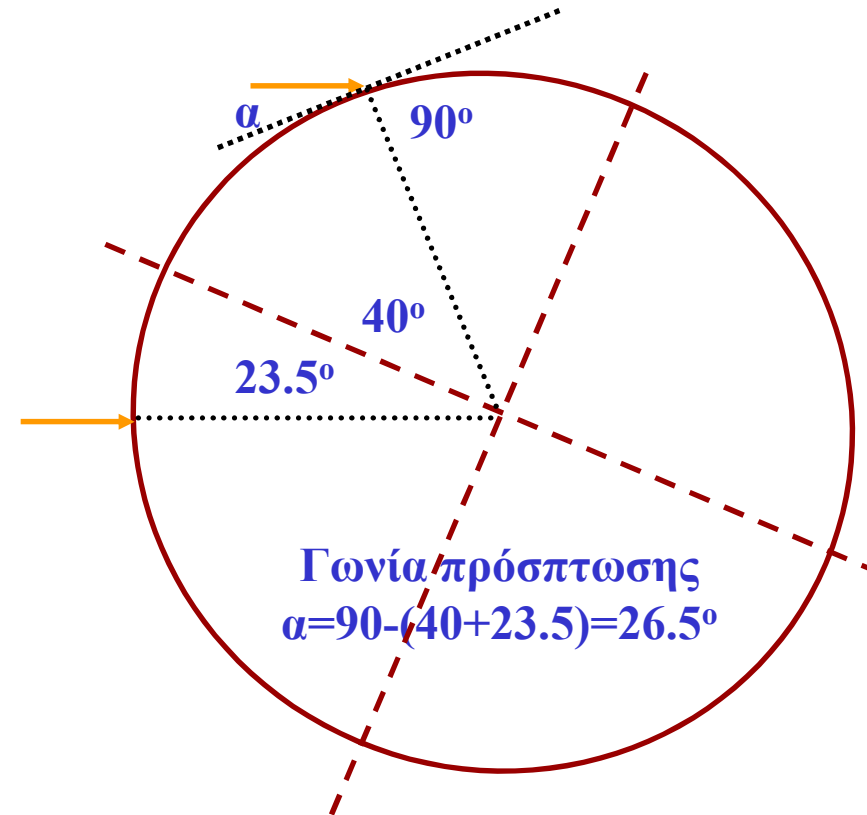
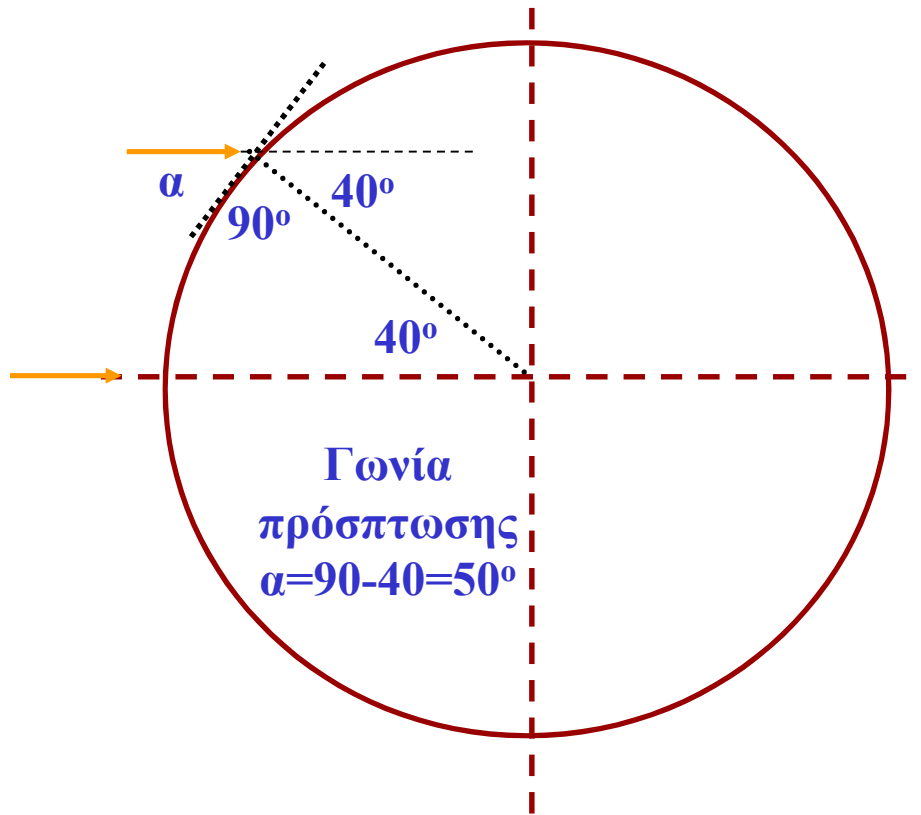


# Ηλιακή ακτινοβολία

Γωνία πρόσπτωσης ηλιακών ακτινών το μεσημέρι, σε επίπεδη επιφάνεια και σε γεωγραφικό πλάτος  $40^\circ$

Ισημερίες

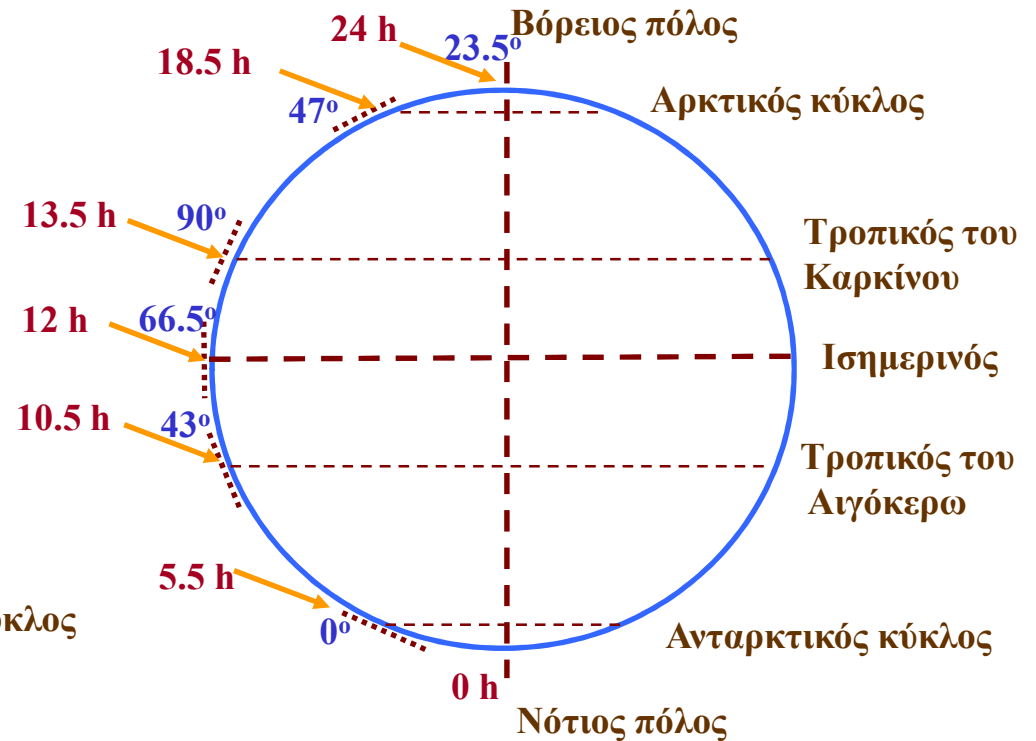
Χειμερινό ηλιοστάσιο



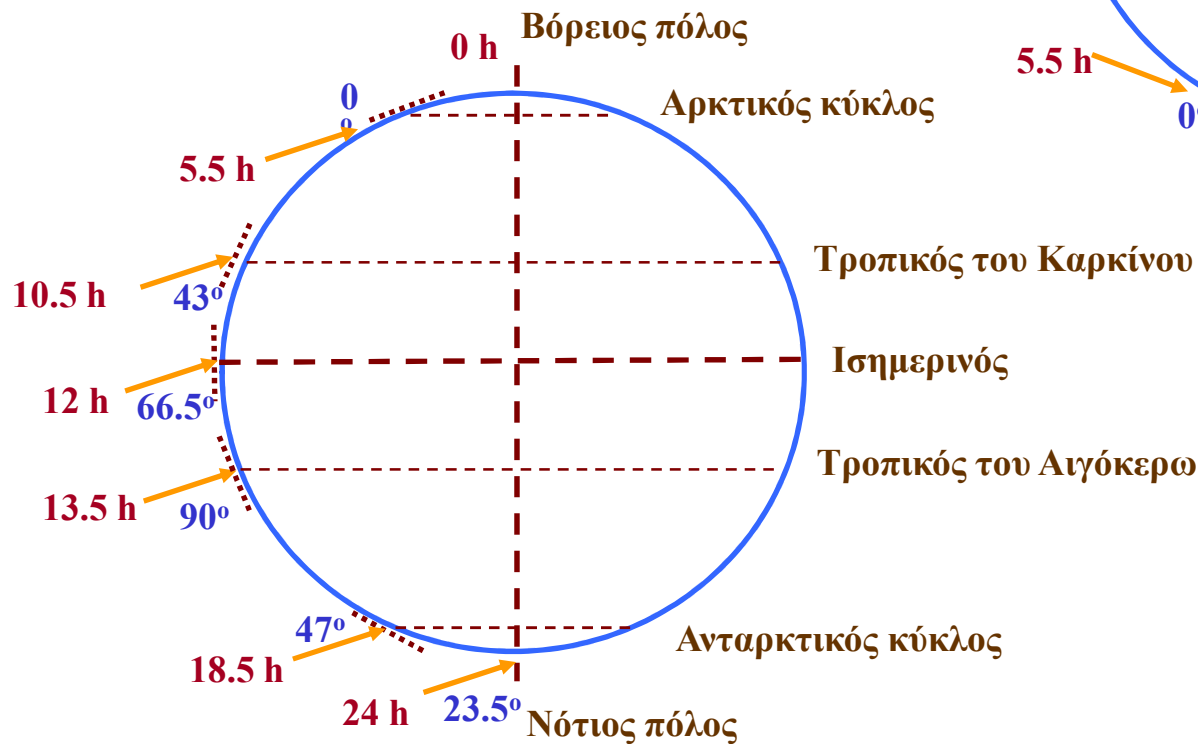
# Ηλιακή ακτινοβολία

Γωνία πρόσπτωσης ηλιακής ακτινοβολίας το μεσημέρι και ώρες δυνητικής ημερήσιας ηλιοφάνειας

## Θερινό ηλιοστάσιο (22 Ιουνίου)

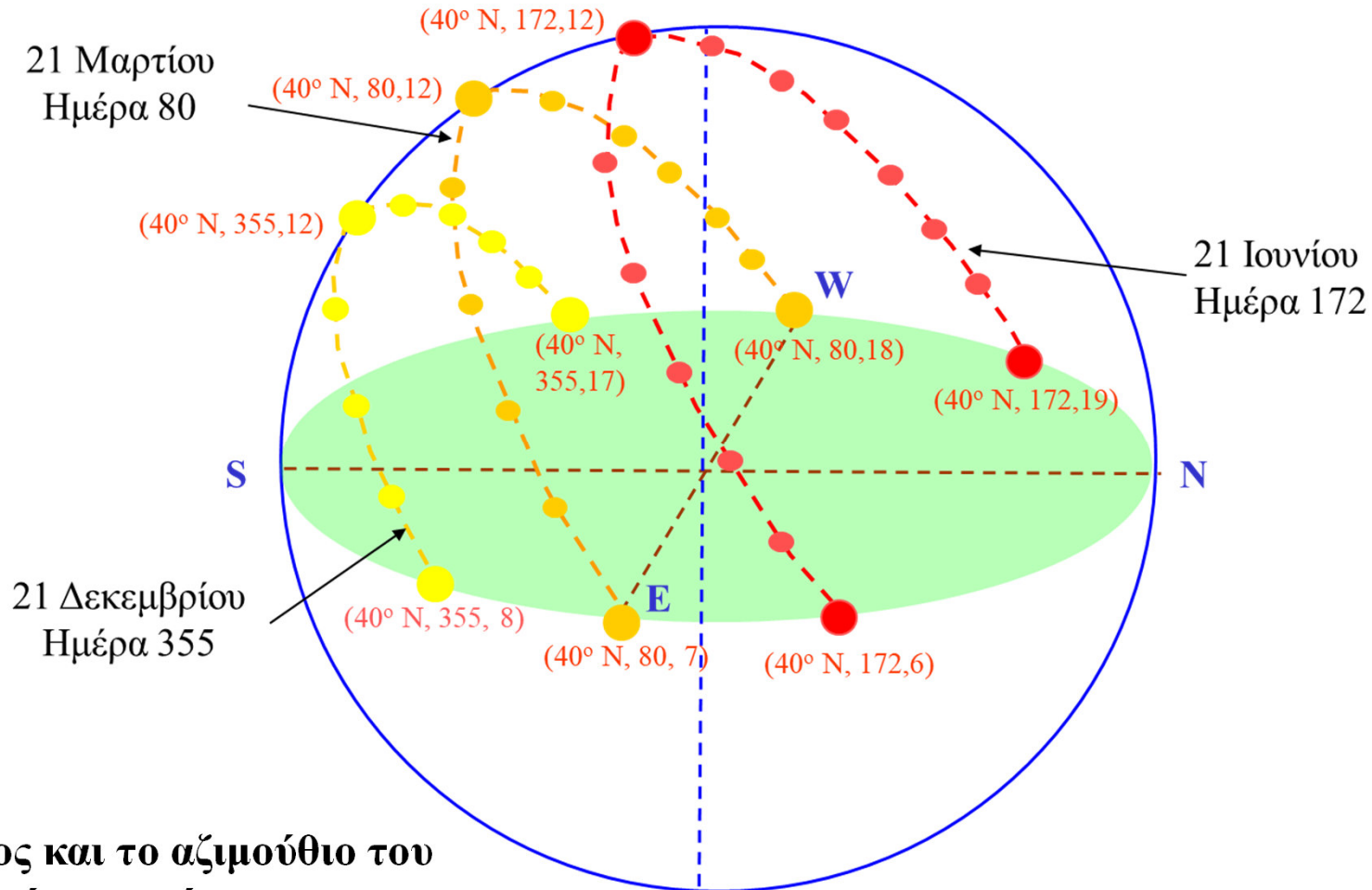


## Χειμερινό ηλιοστάσιο (22 Δεκεμβρίου)



# Ηλιακή ακτινοβολία

## Μεταβολή θέσης ήλιου (γεωγραφικό πλάτος $40^\circ$ )



Το ύψος και το αζιμούθιο του Ηλίου είναι συνάρτηση των

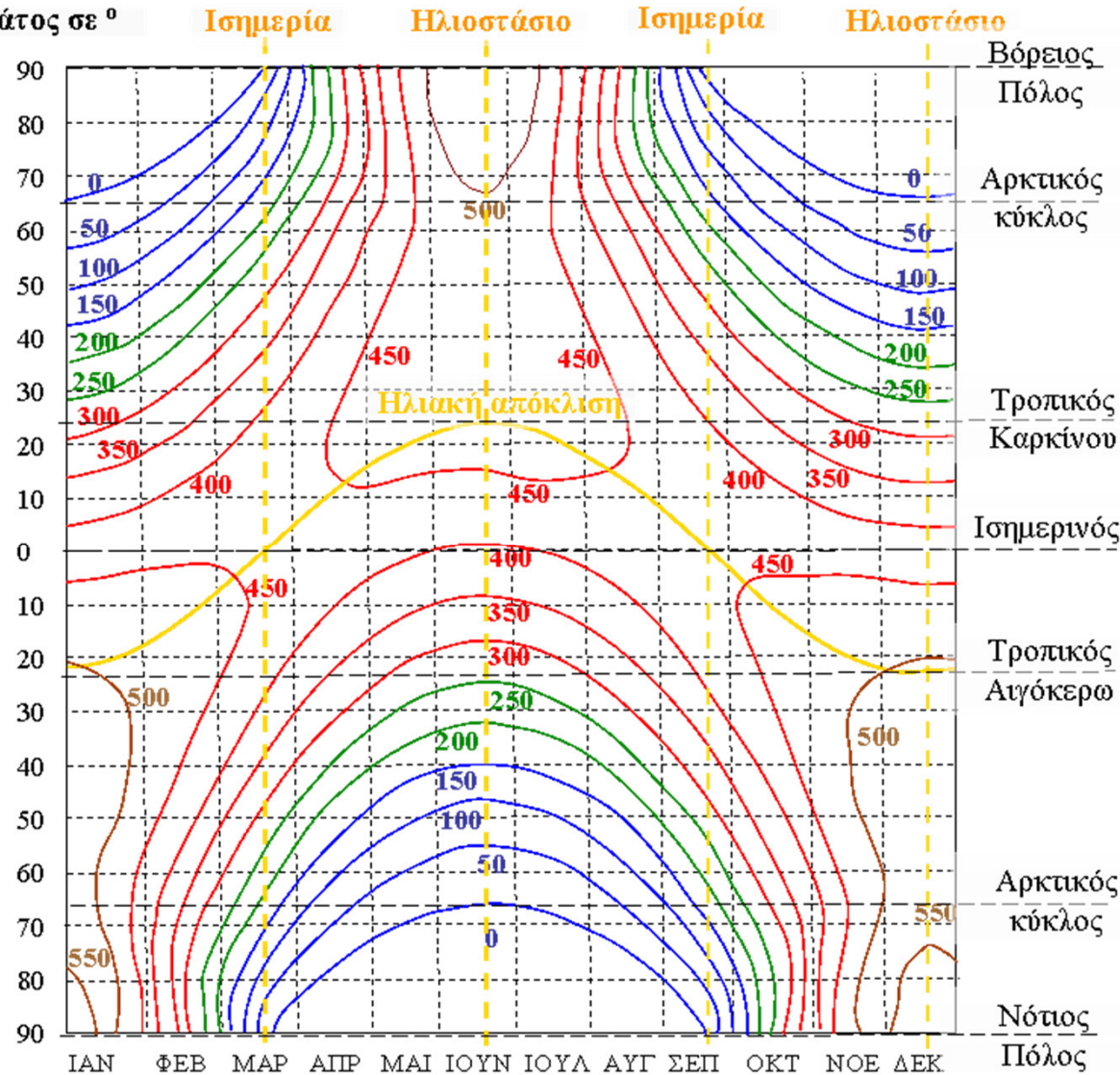
- Γεωγραφικό πλάτος
- Εποχής
- Ώρας της ημέρας



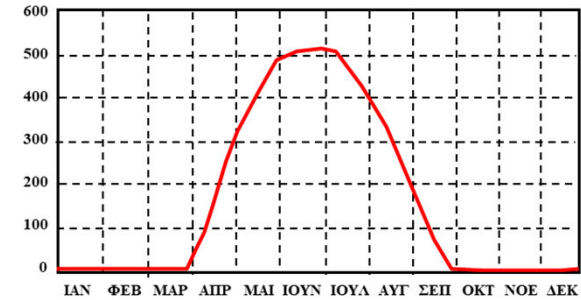
# Ηλιακή ακτινοβολία

## Ημερησία ηλιακή ακτινοβολία στο εξωτερικό όριο της ατμόσφαιρας ( $W/m^2$ )

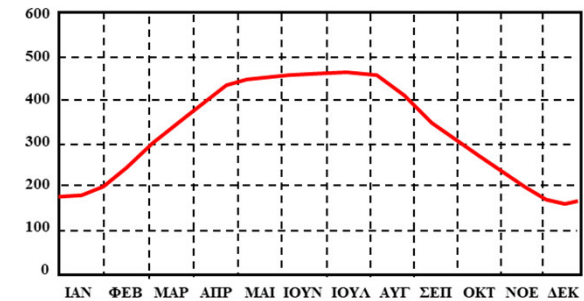
Γεωγραφικό πλάτος σε °



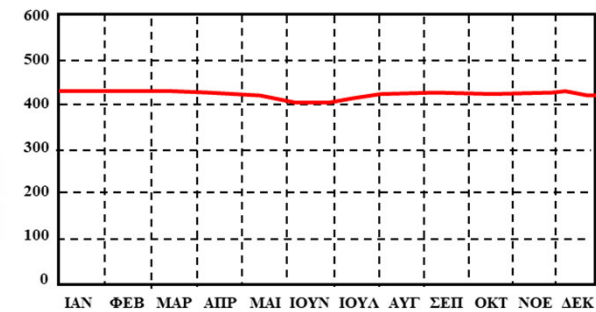
Βόρειος πόλος (90° Β)



Νέα Υόρκη (40° Β)



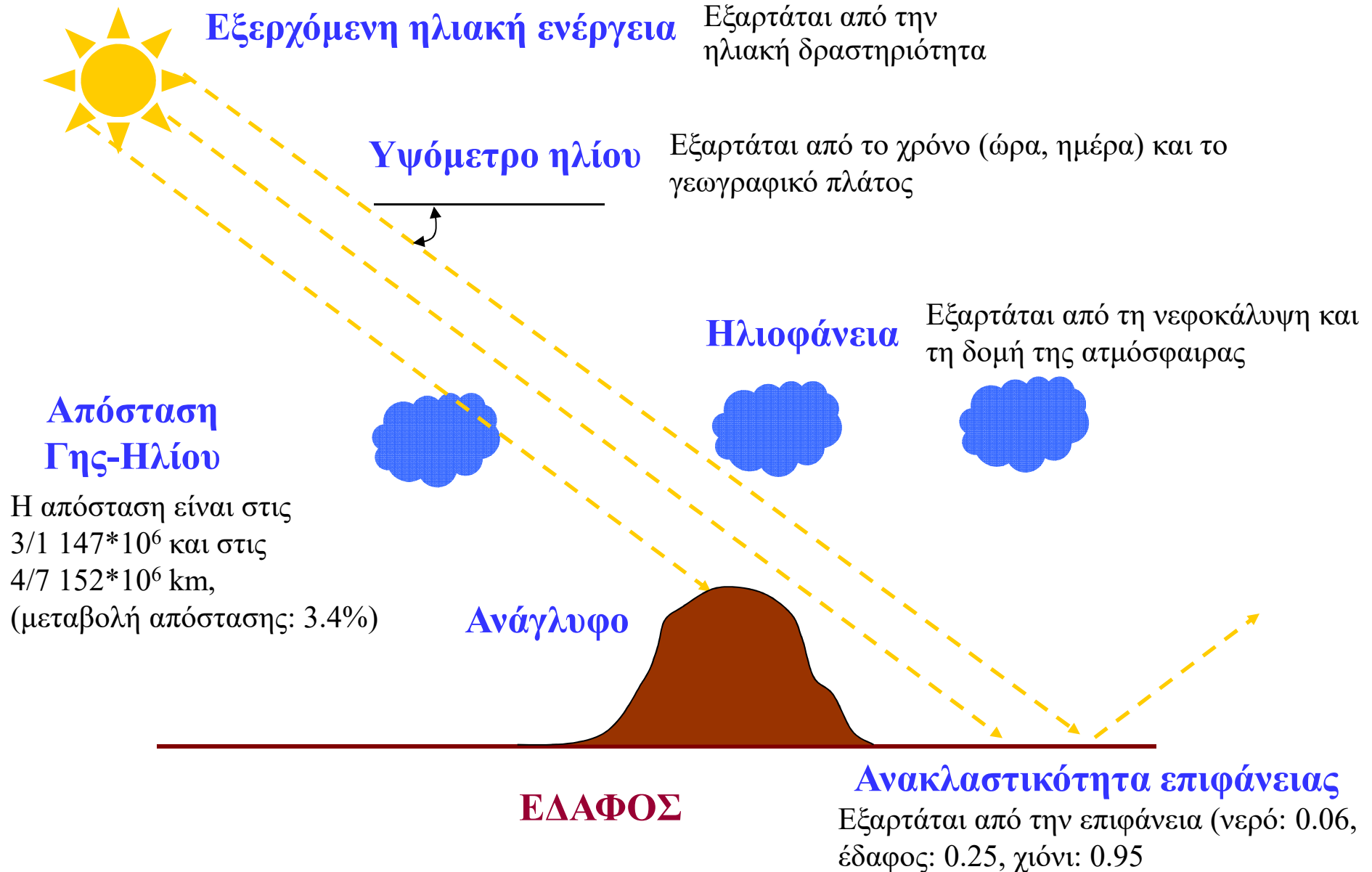
Ισημερινός (0°)



Πηγή: Christopherson, 2000

# Ηλιακή ακτινοβολία

## Παράγοντες που επιδρούν στην εισερχόμενη ηλιακή ακτινοβολία



# Χρονική εξέλιξη ηλιακής ενέργειας στη Γη ( $W/m^2$ )

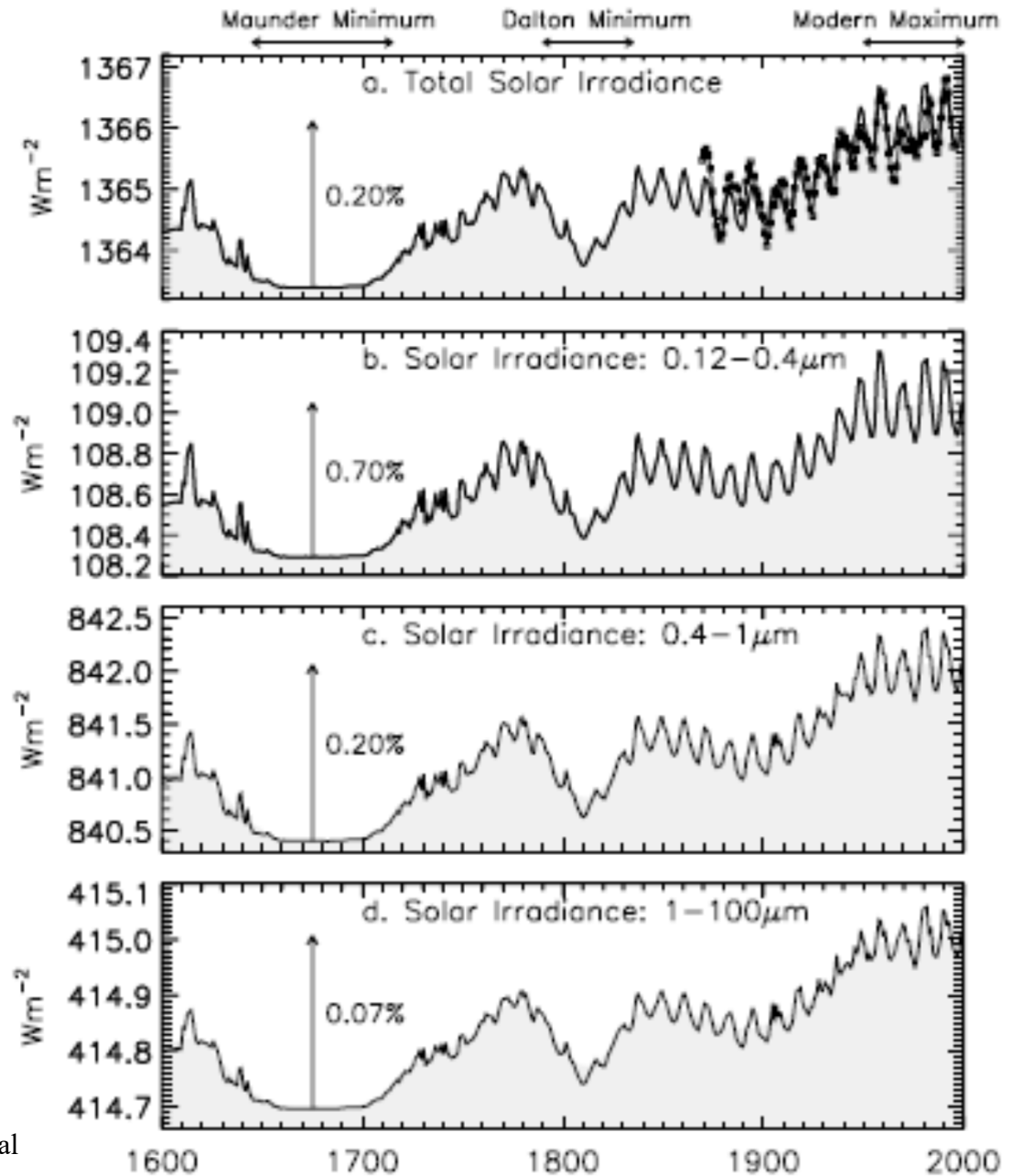
## Ηλιακή ακτινοβολία

Συνολική

Μήκη κύματος από 0.12-0.4  $\mu m$

Μήκη κύματος από 0.4-1  $\mu m$

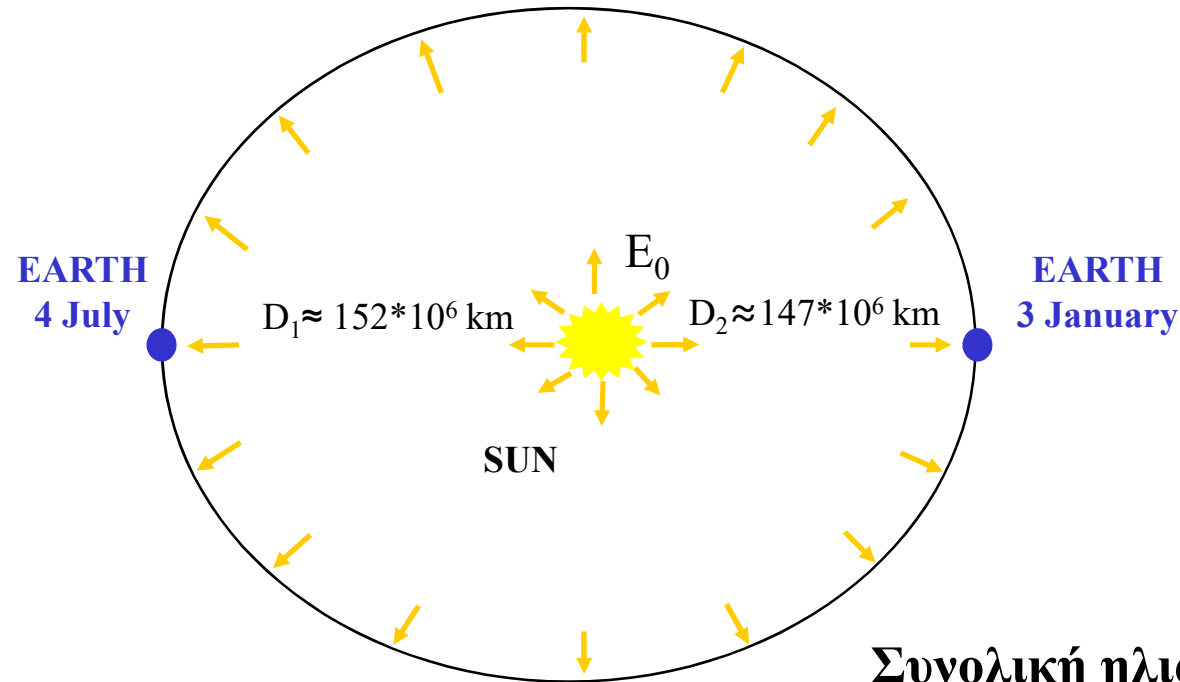
Μήκη κύματος από 1-100  $\mu m$



**Πηγή:** Judith Lean and E. O. Hulburt, Evolution of the Sun's Spectral Irradiance Since the Maunder Minimum, Geophysical Research Letters, Vol. 27, no. 16, Pages 2425-2428, 2000

# Ηλιακή ακτινοβολία

Υπολογισμός της εκκεντρότητας (eccentricity) και της ηλιακής σταθεράς (solar constant)



Συντελεστής εκκεντρότητας

$$d = (D_{mean}/D_j)^2$$

$D_{mean}$  Η μέση απόσταση γης-ηλίου ( $\approx 149.6 * 10^6$  km)

$D_j$  η απόσταση γης-ηλίου την ημέρα  $J$

Συνολική ηλιακή ενέργεια

$$E = 3.9 * 10^{26} \text{ W}$$

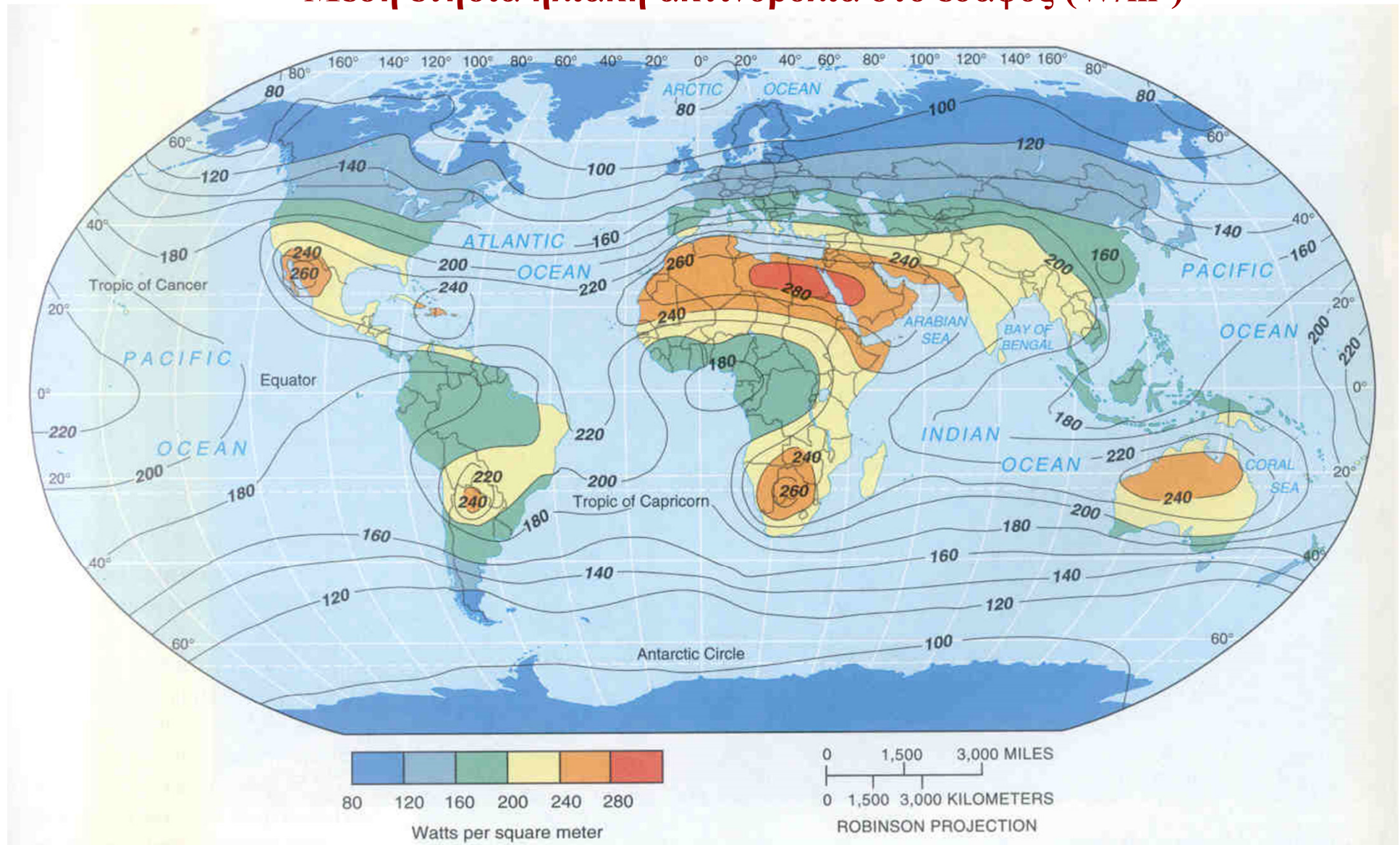
Ηλιακή ακτινοβολία στη γη

$$I = E / (4 * \pi * D^2) \text{ W/m}^2$$

$$\text{Ηλιακή σταθερά } I_o = E / (4 * \pi * D_{mean}^2) \text{ W/m}^2$$

# Ηλιακή ακτινοβολία στην ατμόσφαιρα

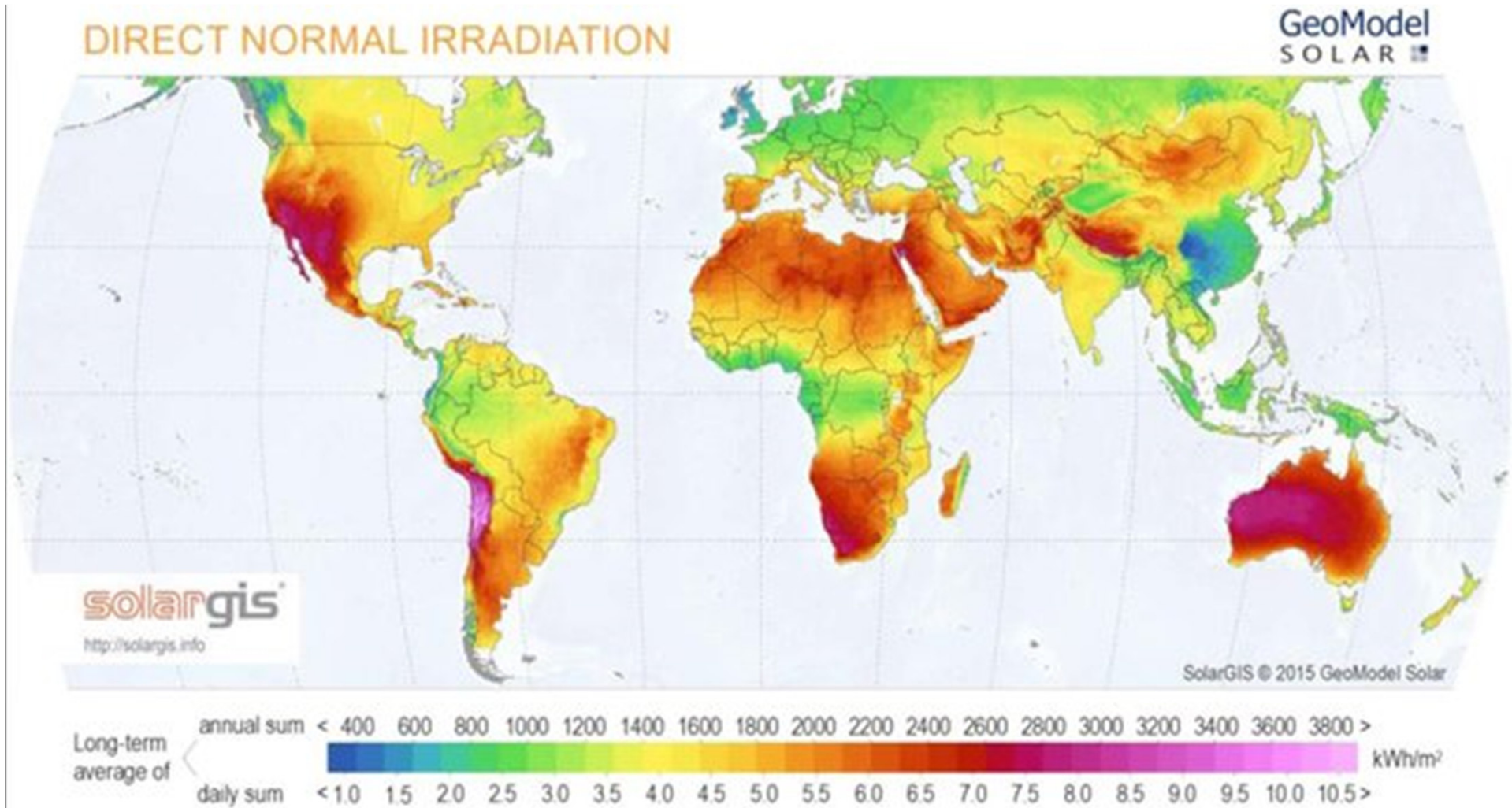
Μέση ετήσια ηλιακή ακτινοβολία στο έδαφος ( $W/m^2$ )



Πηγή: Christopherson, 2000

# Ηλιακή ακτινοβολία στην ατμόσφαιρα

Μέση ετήσια ηλιακή ακτινοβολία στο έδαφος (kWh/m<sup>2</sup>)



# Ηλιακή ακτινοβολία στην ατμόσφαιρα

## Ηλιακή ισχύς και ενέργεια στο έδαφος

	Βόρεια Ελλάδα		Αιγαίο		Κρήτη	
	kWh/m <sup>2</sup>	W/m <sup>2</sup>	kWh/m <sup>2</sup>	W/m <sup>2</sup>	kWh/m <sup>2</sup>	W/m <sup>2</sup>
ΙΑΝ	60	81	62	83	74	100
ΦΕΒ	75	112	81	120	93	138
ΜΑΡ	113	152	130	175	145	195
ΑΠΡ	132	183	173	241	189	262
ΜΑΙΟΣ	161	216	223	300	232	312
ΙΟΥΝ	181	251	249	346	254	353
ΙΟΥΛ	190	255	254	341	261	351
ΑΥΓ	171	230	227	305	235	316
ΣΕΠ	131	183	174	242	186	258
ΟΚΤ	94	126	121	162	134	180
ΝΟΕ	60	83	71	99	83	115
ΔΕΚ	49	65	52	70	65	87
<b>ΕΤΟΣ</b>	<b>1416</b>	<b>161</b>	<b>1817</b>	<b>207</b>	<b>1951</b>	<b>222</b>

Πηγή: RETScreen Data, NASA

# Ηλιακή ακτινοβολία στην ατμόσφαιρα

## Άμεση-διάχυτη ακτινοβολία

### Άμεση (direct)

Η ακτινοβολία που φτάνει στην επιφάνεια της Γης χωρίς να σκεδαστεί στην ατμόσφαιρα. Εξαρτάται από:

- την απορρόφηση της ηλιακής ακτινοβολίας στην ατμόσφαιρα
- το ύψος του ηλίου
- την απόσταση του ηλίου
- το υψόμετρο της θέσης
- την κλίση της επιφάνειας

### Διάχυτη (diffuse)

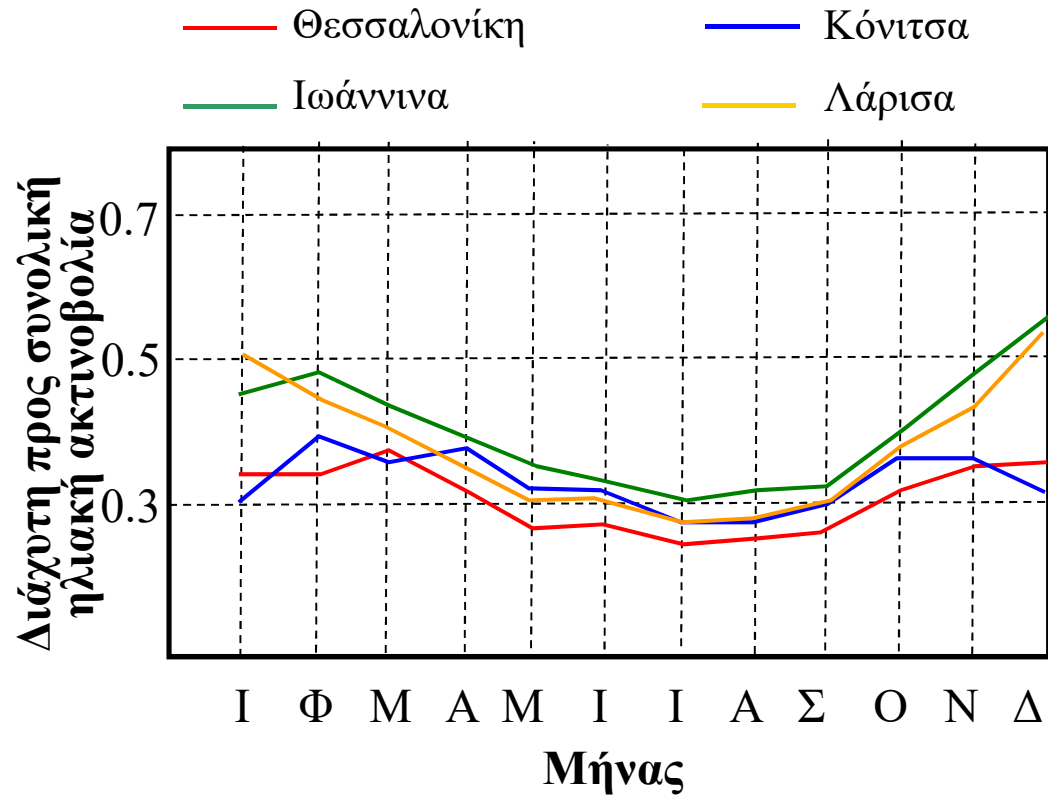
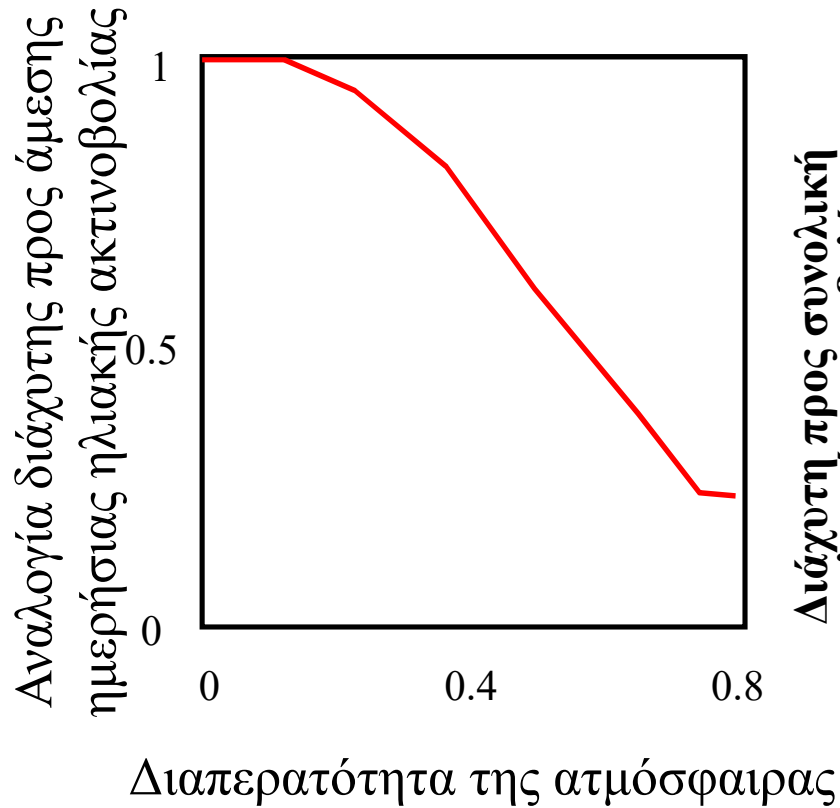
Η ακτινοβολία που φτάνει στην επιφάνεια της Γης αφού έχει αλλάξει η διεύθυνση της από ανάκλαση ή σκέδαση στην ατμόσφαιρα. Εξαρτάται από:

- την απορρόφηση της ηλιακής ακτινοβολίας στην ατμόσφαιρα
- το ύψος του ηλίου
- το υψόμετρο της θέσης
- την ανακλαστικότητα του εδάφους
- το ποσό και το είδος των νεφών
- τη σύνθεση των σωματιδίων και των αερίων της ατμόσφαιρας



# Ηλιακή ενέργεια στην ατμόσφαιρα

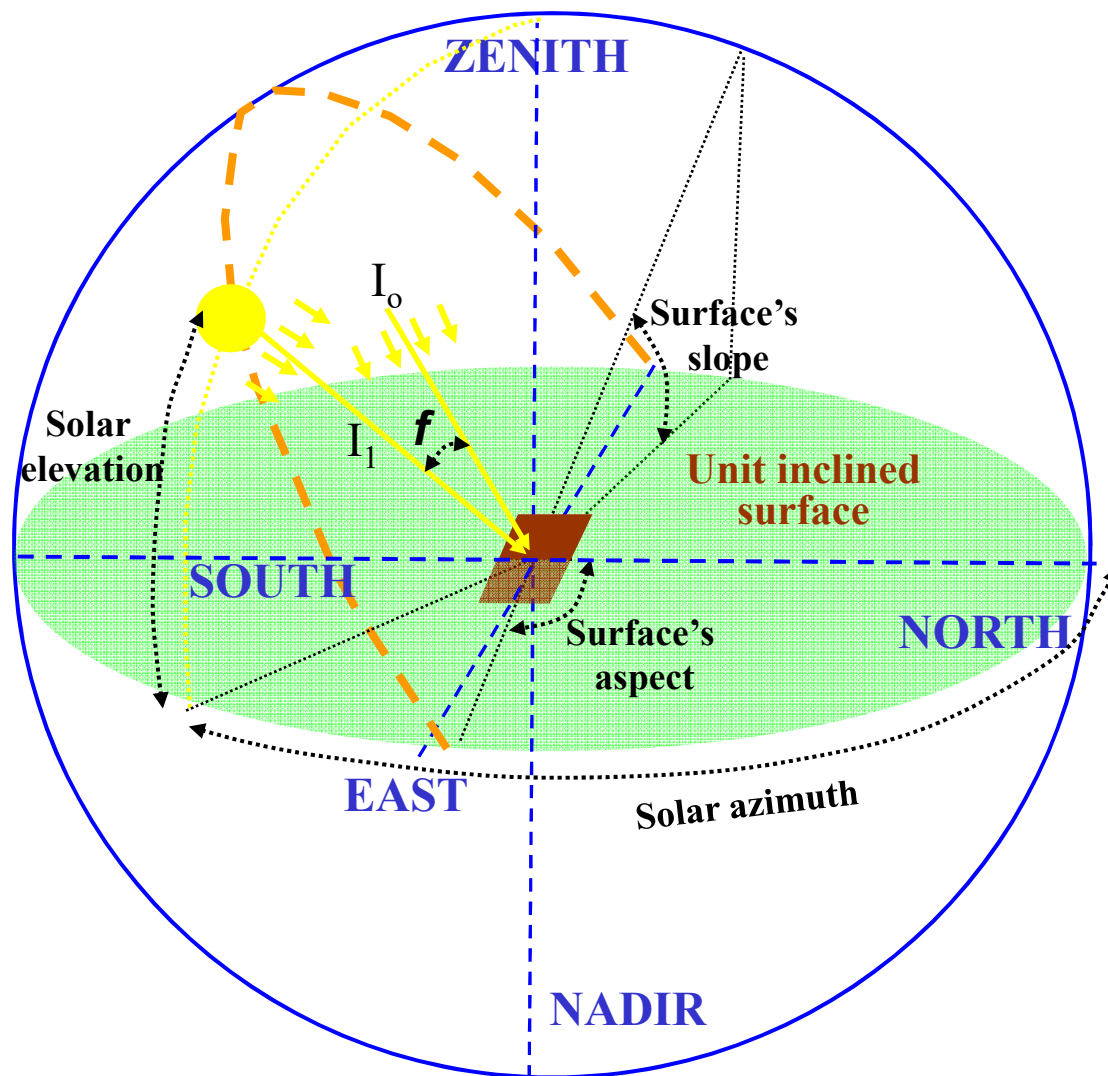
## Άμεση-διάχυτη ακτινοβολία



**Πηγή:** B. D. Katsoulis, A Comparison of Several Diffuse Solar Radiation, Theor. Appl. Climatol. 44, 181-186 (1991)

# Ηλιακή ενέργεια στην ατμόσφαιρα

## Υπολογισμός γωνίας πρόσπτωσης ηλιακής ακτινοβολίας



### Αζιμούθιο ηλίου-azimuth ( $Azm$ )

Η γωνία μεταξύ ( $\alpha$ ) του επιπέδου που περνάει από τον ήλιο, τον παρατηρητή και το zenith του και ( $\beta$ ) της γραμμής που συνδέει τον παρατηρητή και το Βορρά. Η γωνία μετριέται από το Βορρά στη φορά των δεικτών του ρολογιού σε μοίρες (0-360).

### Υψόμετρο ηλίου-Elevation ( $Elv$ ).

Η γωνία μεταξύ ( $\alpha$ ) της γραμμής του ορίζοντα του παρατηρητή και ( $\beta$ ) της γραμμής που συνδέει τον παρατηρητή και τον ήλιο. Η γωνία μετριέται από τον ορίζοντα προς τα πάνω σε μοίρες (0-90).

### Κλίση κυτάρων -Slope ( $Slp$ )

Η κλίση ενός κυτάρου είναι η μεγαλύτερη κλίση ενός επιπέδου που ορίζεται από το κύταρο και τα οκτώ γειτονικά του. Η γωνία μετριέται σε μοίρες (0-90).

### Διεύθυνση κυτάρων-Aspect ( $Asp$ )

Η διεύθυνση που 'βλέπει' η κλίση. Η γωνία μετριέται από το Βορρά στη φορά των δεικτών του ρολογιού σε μοίρες (0-360).

$$I = I_0 * d * \cos f$$

$$I_0 \approx 1367 \text{ W/m}^2$$

$$d = 1 + 0.034 * \cos(2 * \pi * J / 365 - 0.05)$$

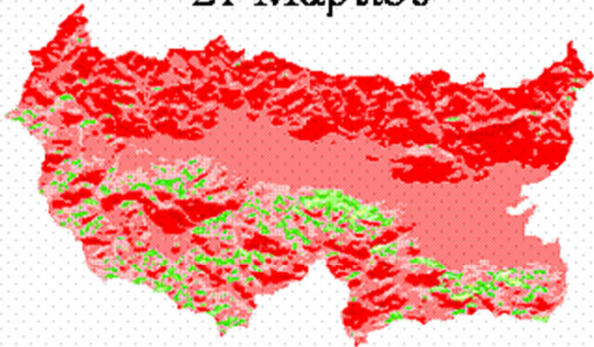
$$\cos f = \sin Azm * \cos Elv * \cos(90 - Slp) * \sin Asp + \cos Azm * \cos Elv * \cos(90 - Slp) * \cos Asp + \sin Elv * \sin(90 - Slp)$$

# Ηλιακή ακτινοβολία στην ατμόσφαιρα

Επίδραση αναγλύφου στη γωνία πρόσπτωσης

Ημερήσιες κατανομές δυνητικής ηλιακής ακτινοβολίας ( $W/m^2$ )

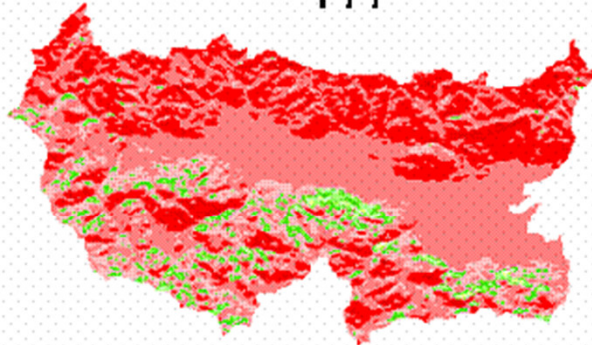
21 Μαρτίου



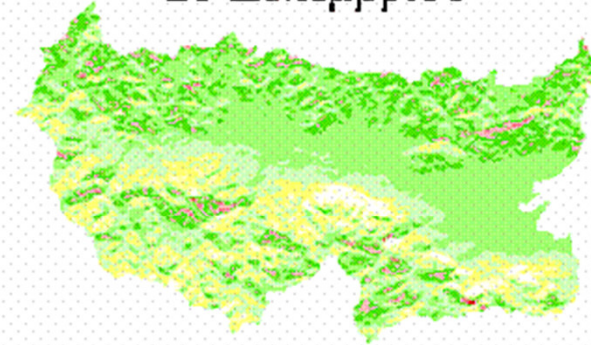
21 Ιουνίου



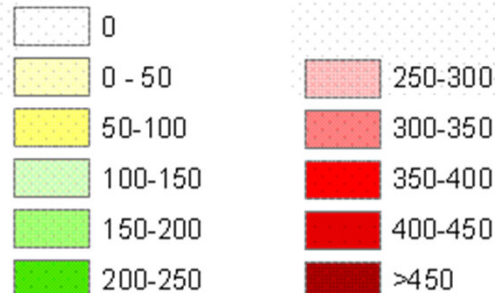
22 Σεπτεμβρίου



21 Δεκεμβρίου



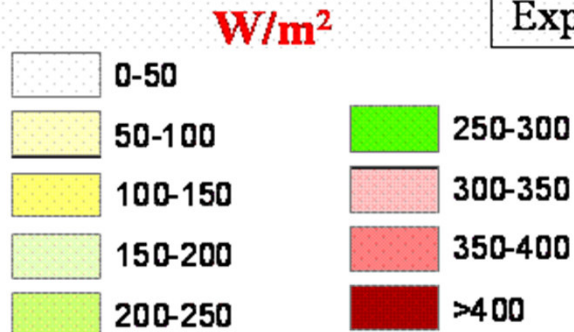
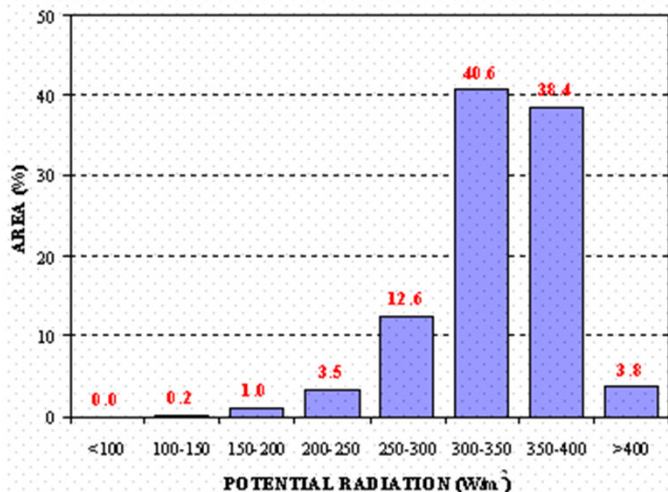
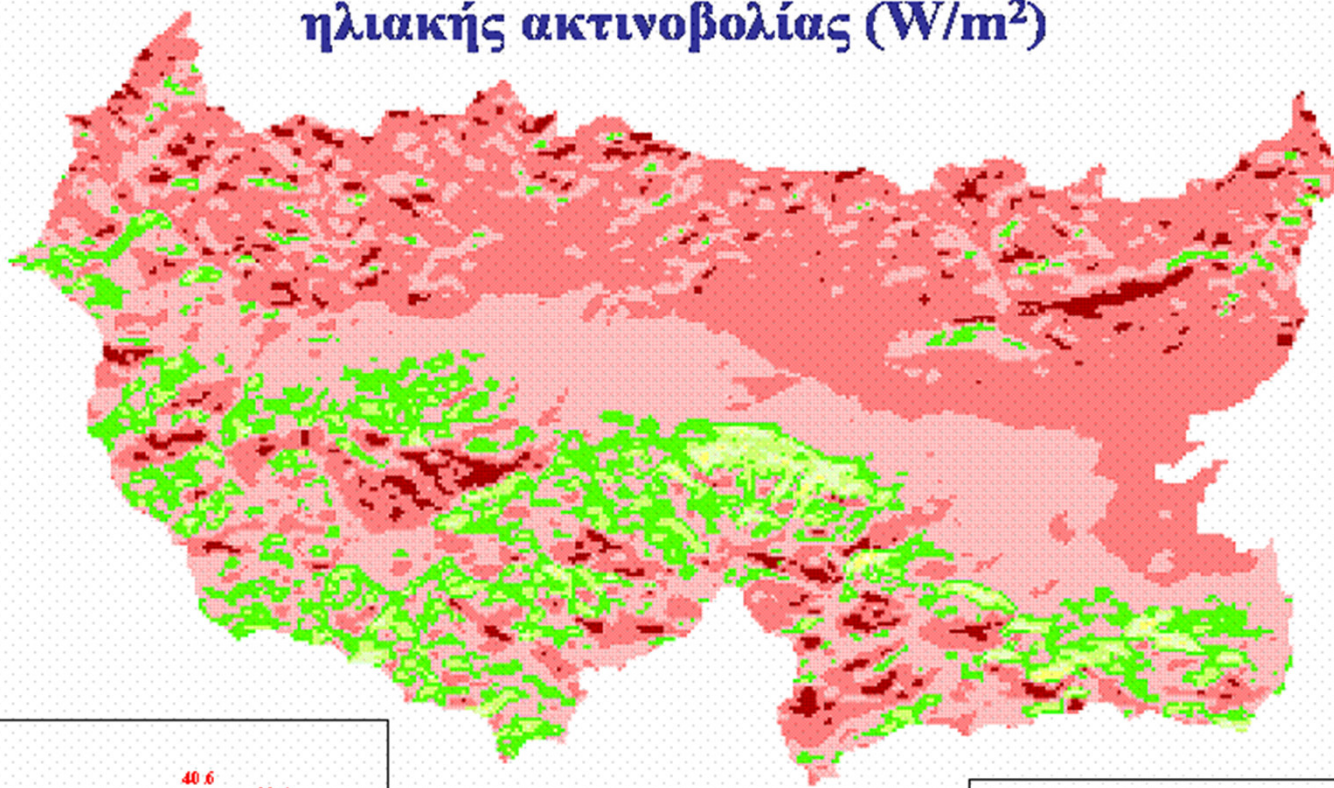
$W/m^2$



# Ηλιακή ακτινοβολία στην ατμόσφαιρα

Επίδραση αναγλύφου στη γωνία πρόσπτωσης

Ετήσια κατανομή δυνητικής  
ηλιακής ακτινοβολίας ( $W/m^2$ )

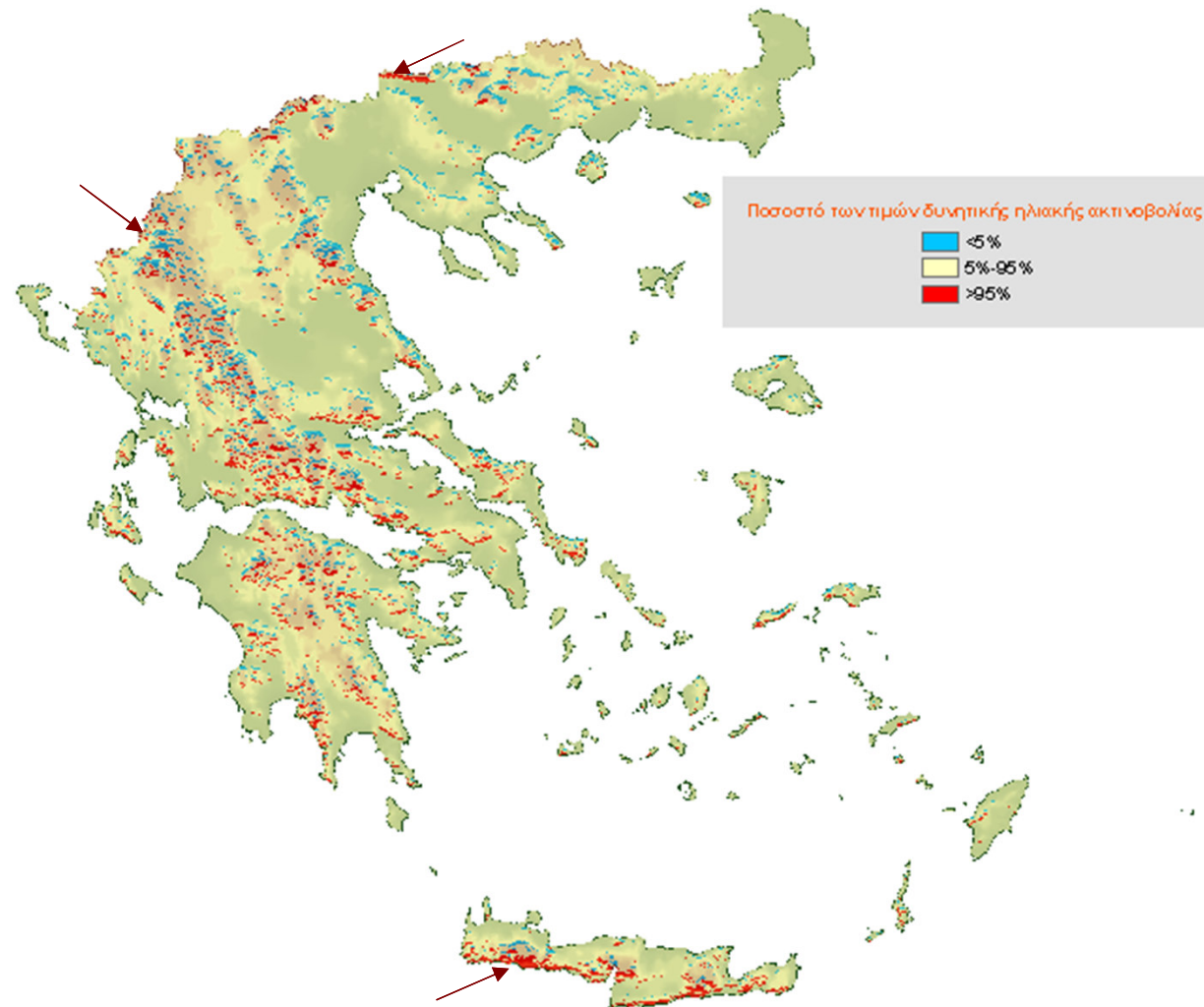


Calculated mean: 323  
Expected mean: 334

# Ηλιακή ακτινοβολία στην ατμόσφαιρα

## Επίδραση αναγλύφου στη γωνία πρόσπτωσης

ΔΥΝΗΤΙΚΗ ΗΛΙΑΚΗ ΑΚΤΙΝΟΒΟΛΙΑ ΣΤΟΝ ΕΛΛΗΝΙΚΟ ΧΩΡΟ

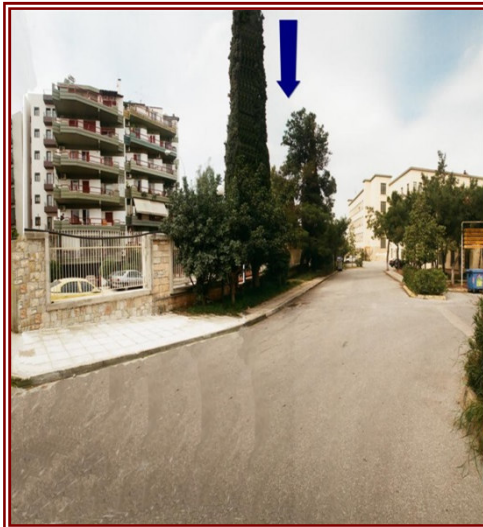
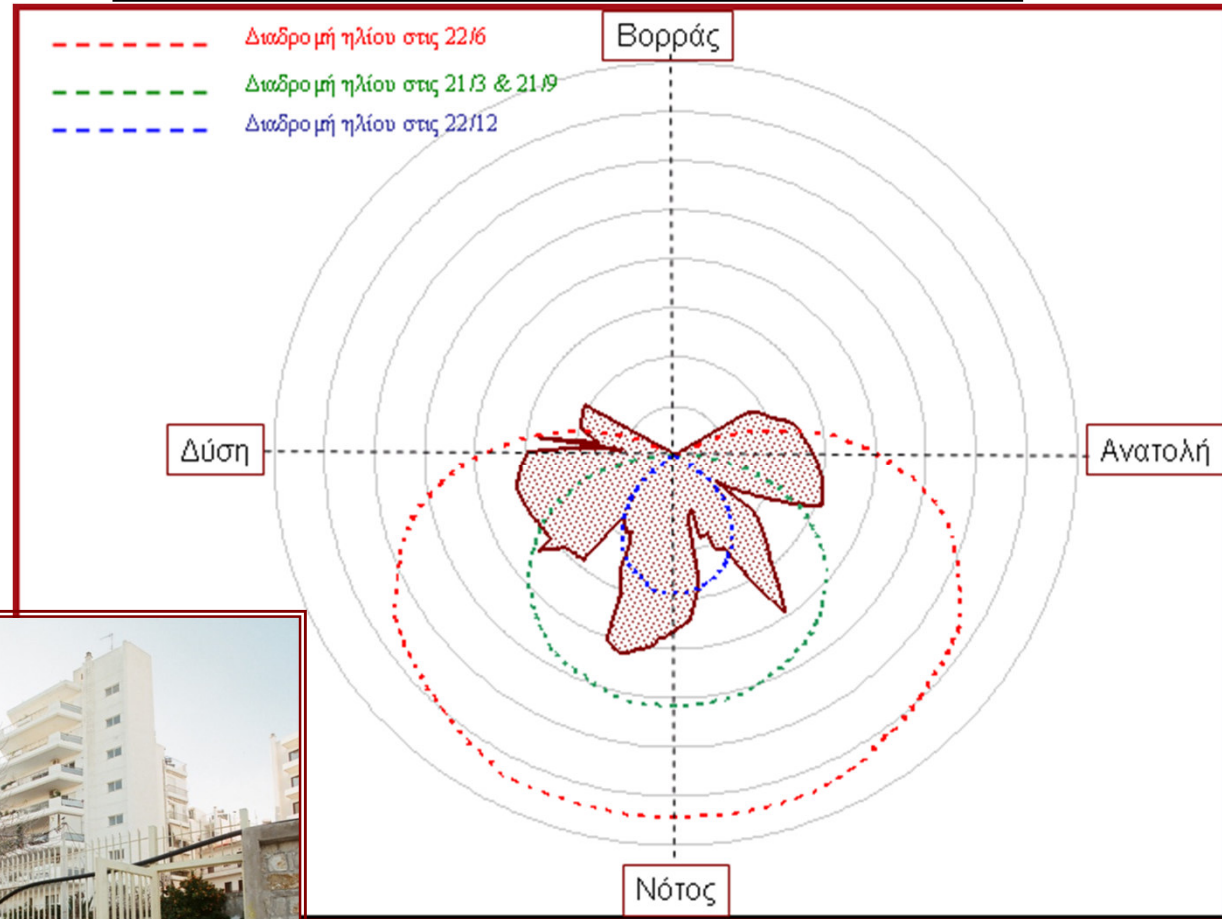


# Ηλιακή ακτινοβολία στην ατμόσφαιρα

## Εκτίμηση δυνητικής ηλιακής ακτινοβολίας σε αστικό περιβάλλον

Σε αστικό περιβάλλον υπάρχει επιπλέον σκίαση από διάφορα εμπόδια

ΜΗΝΑΣ	Δείκτης $I_E / I_0$
ΙΑΝΟΥΑΡΙΟΣ	0,41
ΦΕΒΡΟΥΑΡΙΟΣ	0,74
ΜΑΡΤΙΟΣ	0,79
ΑΠΡΙΛΙΟΣ	0,83
ΜΑΙΟΣ	0,88
ΙΟΥΝΙΟΣ	0,92
ΙΟΥΛΙΟΣ	0,93
ΑΥΓΟΥΣΤΟΣ	0,83
ΣΕΠΤΕΜΒΡΙΟΣ	0,80
ΟΚΤΩΒΡΙΟΣ	0,70
ΝΟΕΜΒΡΙΟΣ	0,34
ΔΕΚΕΜΒΡΙΟΣ	0,26
<b>ΕΤΟΣ</b>	<b>0,77</b>



# Αξιοποίηση ηλιακής ενέργειας

## Παθητικά-ενεργητικά συστήματα

*Τα παθητικά συστήματα* ενσωματώνονται στα κτίρια με στόχο την αξιοποίηση του ηλίου για την **θέρμανση και τον φωτισμό**. Λειτουργούν χωρίς μηχανολογικά εξαρτήματα και δεν παράγουν πρόσθετη ενέργεια.

Τα *ενεργητικά συστήματα*, χρησιμοποιούν μηχανικά μέσα για τη θέρμανση αξιοποιώντας την ηλιακή ενέργεια. Στη κατηγορία αυτή ανήκουν τα ηλιακά πλαίσια.

Υπάρχουν δύο τύποι ηλιακών πλαισίων: **το ηλεκτρικό** και το **θερμικό**.

- Το **ηλεκτρικό πλαίσιο**, το οποίο αποτελείται από μια διάταξη ή σύνολο διατάξεων που παράγουν ηλεκτρική ενέργεια αναφέρεται ως “φωτοβολταϊκό”.
- Το **θερμικό πλαίσιο**, το οποίο αποκαλείται ως “ηλιακός συλλέκτης” ή ηλιακός θερμοσίφωνα, αποτελείται από σωληνώσεις νερού, γυαλί και μόνωση και έχει ως στόχο τη θέρμανση ενός ρευστού (συνήθως νερού ή αέρα).

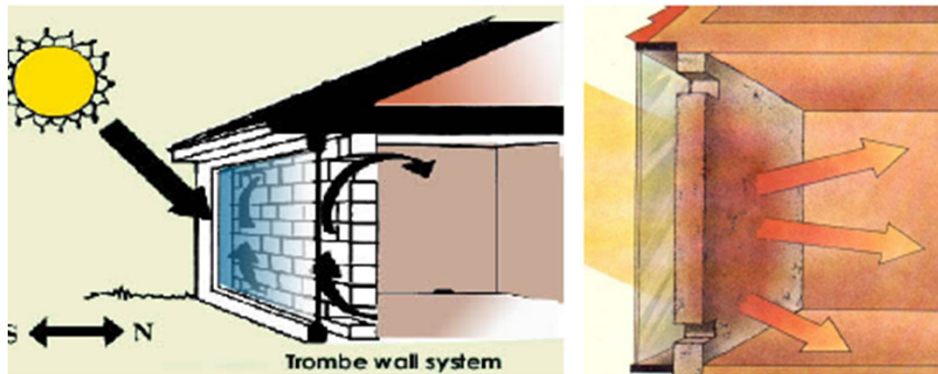
# Αξιοποίηση ηλιακής ενέργειας

## Θέρμανση κτιρίων με παθητικά ηλιακά συστήματα

Τα παθητικά ηλιακά συστήματα αξιοποιούν την θερμική μάζα ενός κτιρίου. Σε ημερήσια βάση η θερμική μάζα αποθηκεύει ηλιακή-θερμική ενέργεια από την ηλιακή ακτινοβολία, την οποία απελευθερώνει κατά την διάρκεια της νύχτας. Συνήθως οι κατασκευές αυτές γίνονται στο νότιο τμήμα του κτιρίου όπου το καλοκαίρι είναι ευκολότερο να περιορισθεί η ηλιακή ακτινοβολία

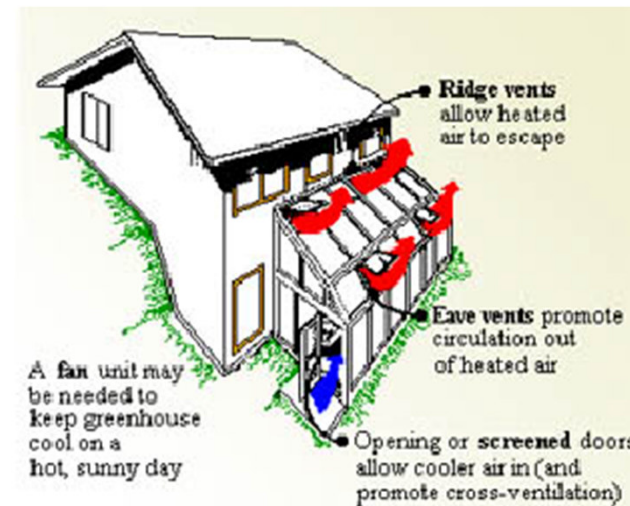
### Τοίχος Trombe

Εξωτερικά του τοίχου κατασκευάζεται γυάλινο πέτασμα που εγκλωβίζει την θερμική ενέργεια, ενώ παράλληλα στον τοίχο υπάρχουν ανοίγματα από όπου κυκλοφορεί αέρας που διοχετεύει την θερμότητα μέσα στο κτίριο.



### Θερμοκήπιο

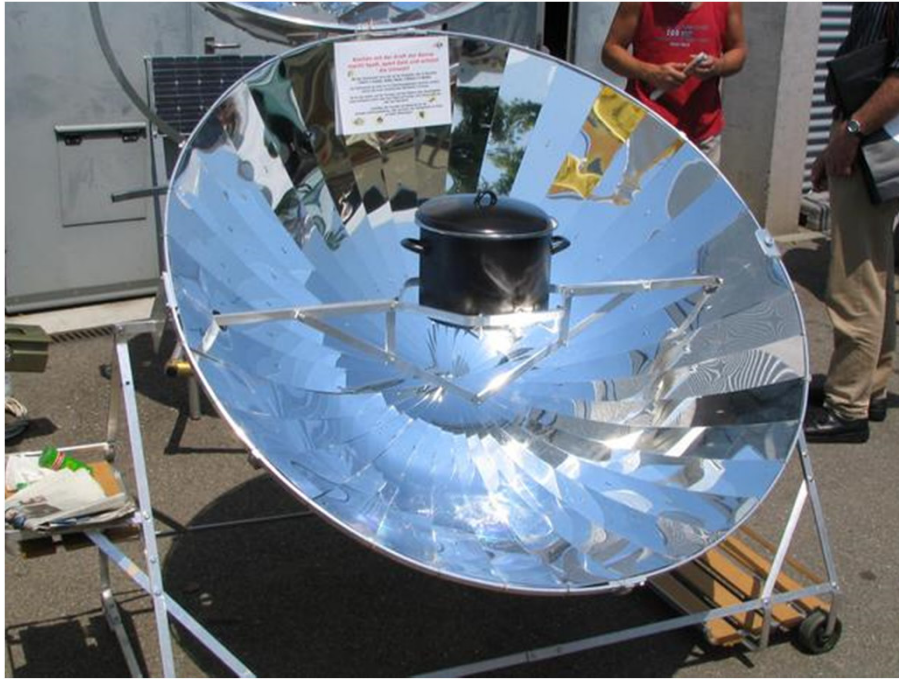
Αποθηκεύει θερμική ενέργεια λόγω ακτινοβολίας και ζεσταίνεται, ενώ ο αέρας κυκλοφορεί μέσα στο σπίτι. Την νύχτα το θερμοκήπιο απομονώνεται από τον εσωτερικό χώρο.





# Αξιοποίηση ηλιακής ενέργειας

## Ηλιακή εστία



# Αξιοποίηση ηλιακής ενέργειας

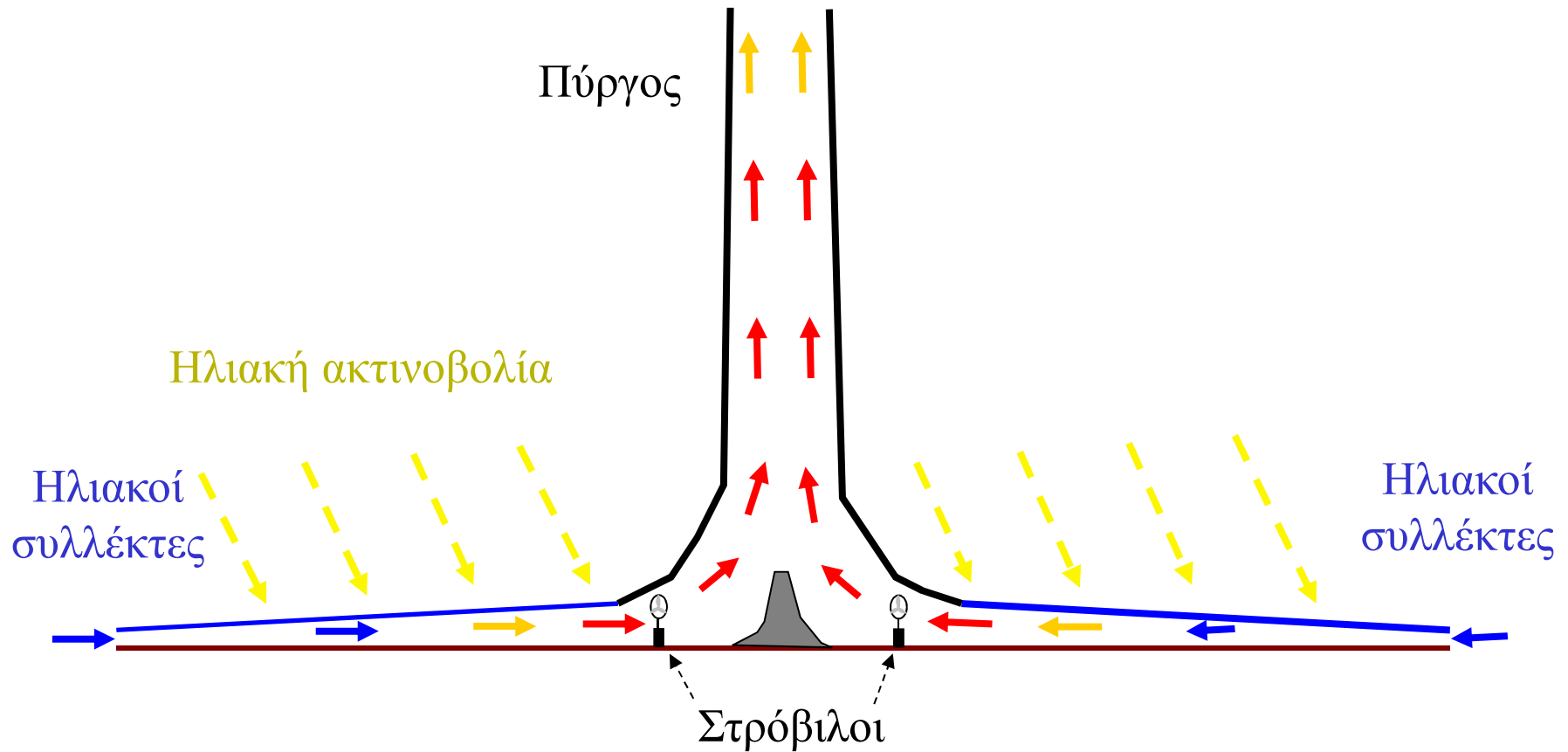
## Ηλιακός φούρνος



Ο ηλιακός φούρνος στο Odeillo των Πυρηναίων (Γαλλία) κατασκευάστηκε το 1969 από τον Felix Trombe και ήταν ο μεγαλύτερος στον κόσμο. Αποτελείται από 63 κάτοπτρα συνολικής επιφάνειας 2840 m<sup>2</sup> για να συγκεντρώσει ηλιακές ακτίνες σε μία επιφάνεια από επάργυρο γυαλί η θερμοκρασία της οποίας μπορεί να φτάσει τους 3200 βαθμούς.

# Αξιοποίηση ηλιακής ενέργειας

## Ηλιακός πύργος



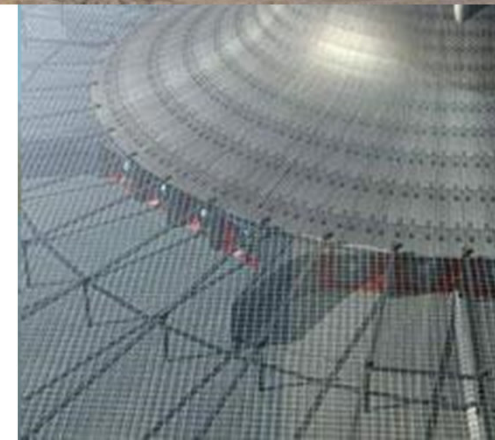
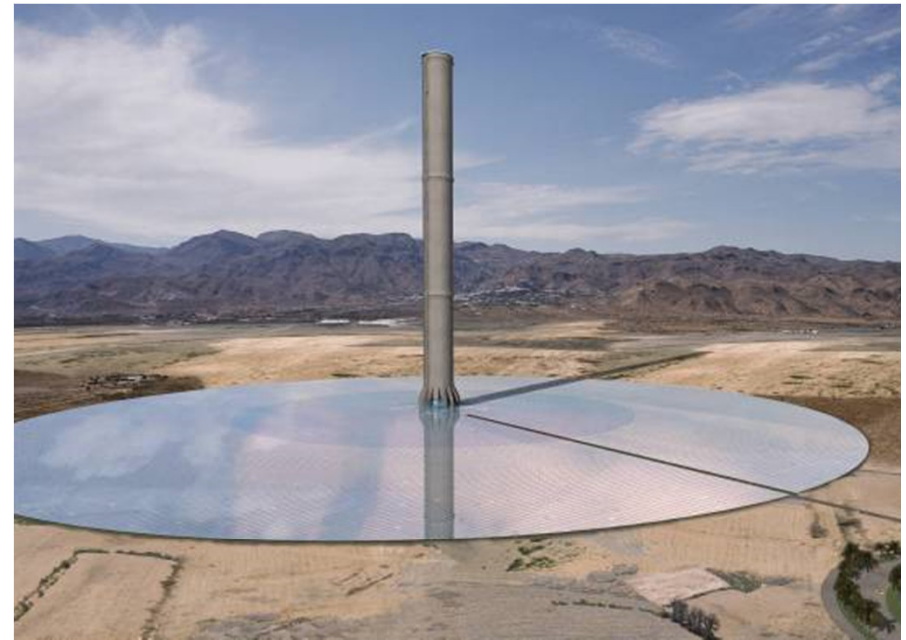
*Αρχική ιδέα: Leonardo da Vinci*

# Αξιοποίηση ηλιακής ενέργειας

## Ηλιακός πύργος



Πειραματική διάταξη στην Ισπανία (Manzanares, Ciudad Real) η οποία κατασκευάστηκε το 1982. Πύργος ύψους 195 m και διαμέτρου 10 m. Επιφάνεια συλλεκτών 46000 m<sup>2</sup> (διάμετρος 244 m). Μέγιστη ισχύς 50 kW. Καταστράφηκε σε καταιγίδα το 1989.

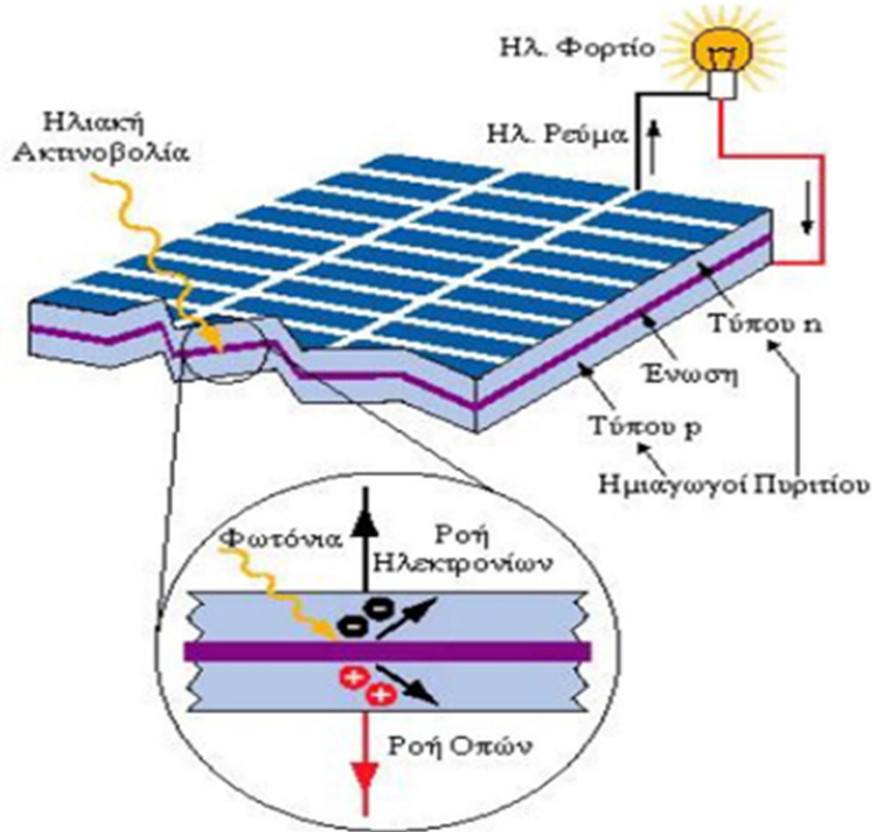


Αυστραλία (υπό κατασκευή). Πύργος ύψους 1100 m και διαμέτρου 150 m. Επιφάνεια συλλεκτών 20 km<sup>2</sup> (διάμετρος 5 km). Μέγιστη ισχύς 200 MW. Κόστος 800 εκ. \$

# Φωτοβολταϊκά συστήματα

## Το φωτοβολταϊκό φαινόμενο

Η συνήθης, εμπορική τεχνολογία παραγωγής ηλεκτρικής ενέργειας μέσω αξιοποίησης της ηλιακής ενέργειας, βασίζεται στο **φωτοβολταϊκό φαινόμενο**



Το φωτοβολταϊκό φαινόμενο αφορά τη μετατροπή της ηλιακής ενέργειας σε ηλεκτρική και ανακαλύφθηκε το 1839 από τον Becquerel. Στηρίζεται στην άμεση μετατροπή της ηλιακής ενέργειας σε ηλεκτρισμό. Το ηλιακό φως είναι ουσιαστικά μικρές δέσμες ενέργειας (φωτόνια) που περιέχουν διαφορετικά ποσά ενέργειας ανάλογα με το μήκος κύματος του ηλιακού φάσματος. Όταν τα φωτόνια προσκρούσουν σε ένα Φ/Β στοιχείο (που είναι ουσιαστικά ένας “ημιαγωγός”) άλλα ανακλώνται, άλλα το διαπερνούν και άλλα απορροφώνται από αυτό. Αυτά τα τελευταία είναι που παράγουν το ηλεκτρικό ρεύμα. Συγκεκριμένα, τα φωτόνια που απορροφώνται από το ημιαγωγίμο υλικό δημιουργούν ζεύγη οπών ηλεκτρονίου-ηλεκτρονίου κάτω από την επίδραση ενός ηλεκτρικού πεδίου και καθοδηγούνται μέσω εξωτερικού κυκλώματος. Πιο απλά, τα φωτόνια αναγκάζουν τα ηλεκτρόνια του Φ/Β να μετακινηθούν σε άλλη θέση και όπως γνωρίζουμε ο ηλεκτρισμός δεν είναι τίποτε άλλο παρά κίνηση ηλεκτρονίων.

Δεδομένου ότι από το ευρύ φάσμα της ηλιακής ακτινοβολίας, η ροή ηλεκτρονίων παρατηρείται μόνο σε συγκεκριμένα μήκη κύματος **υπάρχει περιορισμένη απόδοση**. Το κύριο υλικό που χρησιμοποιείται είναι το πυρίτιο σε τρεις μορφές: μονοκρυσταλλικό, πολυκρυσταλλικό και άμορφο

# Αξιοποίηση ηλιακής ενέργειας

## Ιστορική ανάδρομη στα Φ/Β

- 1839 Ο Γάλλος Φυσικός Edmond Becquerel παρατηρεί το Φ/Β φαινόμενο
- 1873 Ο Willoughby Smith ανακαλύπτει την φωτοαγωγιμότητα του σεληνίου
- 1883 Ο Αμερικανός εφευρέτης Charles Fritts περιγράφει την κατασκευή Φ/Β στοιχείων από σελήνιο.
- 1915 Ο Πολωνός επιστήμονας Czochralski ανέπτυξε μέθοδο για παραγωγή μονοκρυσταλλικού πυριτίου.
- 1954 Οι Rappaport, Loferski και Jenny ανακοινώνουν την εφαρμογή του Φ/Β φαινομένου με υλικά από κάδμιο (Cd). Στα εργαστήρια Bell οι ερευνητές Pearson, Chapin και Fuller ανακοινώνουν την επίτευξη απόδοσης Φ/Β Πυριτίου στο 6%.
- 1955 Η εταιρεία Hoffman Electronics ανακοινώνει την εμπορική διάθεση Φ/Β με 2% απόδοση, κόστους \$25/στοιχείο, 14 mW το καθένα δηλ. με κόστος ενέργειας \$1500/W.
- 1957 Η εταιρεία Hoffman Electronics κατασκευάζει Φ/Β στοιχεία με απόδοση 8%.
- 1958 Εκτοξεύεται από τις ΗΠΑ ο πρώτος δορυφόρος με Φ/Β. Λειτουργήσε για 8 έτη.
- 1960 Η εταιρεία Hoffman Electronics κατασκευάζει Φ/Β στοιχεία με 14% απόδοση.
- 1963 Στην Ιαπωνία εγκαθίσταται το μεγαλύτερο για την εποχή Φ/Β πεδίου 242 W σε ένα φάρο.
- 1964 Εκτοξεύεται από τις ΗΠΑ το διαστημόπλοιο Nimbus εξοπλισμένο με Φ/Β 470 W.
- 1977 Η παγκόσμια εγκατάσταση Φ/Β ξεπερνάει τα 500 kW.
- 1979 Το πρώτο Φ/Β σύστημα για οικισμό εγκαθίσταται από ερευνητικό κέντρο της NASA Lewis Research Center ισχύος 3,5 kW στον Ινδιάνικο οικισμό Parago στην Αριζόνα.
- 1983 Η παγκόσμια εγκατάσταση Φ/Β ξεπερνάει τα 21 MW.
- 2004 Η παγκόσμια εγκατάσταση Φ/Β ξεπερνάει τα 1200 MW.
- 2012 Η παγκόσμια εγκατάσταση Φ/Β ξεπερνάει τα 100 GW.
- 2018 Η παγκόσμια εγκατάσταση Φ/Β ξεπερνάει τα 500 GW.

# Φωτοβολταϊκά συστήματα

## Χαρακτηριστικά

- Ένα φωτοβολταϊκό σύστημα έχει στόχο την μετατροπή της ηλεκτρικής ενέργειας σε ηλεκτρική. Αποτελείται από ένα ή περισσότερα φωτοβολταϊκά στοιχεία και τις απαραίτητες συσκευές και διατάξεις για τη μετατροπή της ηλεκτρικής ενέργειας που παράγεται στην επιθυμητή μορφή.
- Το φωτοβολταϊκό στοιχείο είναι συνήθως από **άμορφο ή κρυσταλλικό πυρίτιο**. Εκτός από το πυρίτιο χρησιμοποιούνται και άλλα υλικά για την κατασκευή των φωτοβολταϊκών στοιχείων, όπως το Κάδμιο - Τελλούριο και ο ινδοδισεληνιούχος χαλκός.
- Ο βαθμός απόδοσης εκφράζει το ποσοστό της ηλιακής ακτινοβολίας που μετατρέπεται σε ηλεκτρική ενέργεια στο φωτοβολταϊκό στοιχείο. Τα πρώτα φωτοβολταϊκά στοιχεία είχαν 1-2% απόδοση, τη δεκαετία του 1950 είχαν 6%, ενώ σήμερα βρίσκεται στο 13- 17%. Συγκρινόμενη με την απόδοση άλλων συστημάτων ωστόσο, μπορεί να βελτιωθεί σημαντικά με την τοποθέτηση των φωτοβολταϊκών σε ηλιοστάτη.

### Για την παραγωγή 1 kW απαιτείται επιφάνεια:

μονοκρυσταλλικού πυριτίου: **7-9 m<sup>2</sup>**

πολυκρυσταλλικού πυριτίου: **9-11 m<sup>2</sup>**

άμορφου πυριτίου: **16-20 m<sup>2</sup>**

Ένα πλήρες Φ/Β σύστημα μαζί με τις βάσεις ζυγίζει περίπου **15-20 Kg/m<sup>2</sup>**.

*Τα ποσά διαφοροποιούνται, διότι η τεχνολογία κατασκευής των Φ/Β συνεχώς εξελίσσεται*

# Φωτοβολταϊκά συστήματα

## Παράγοντες απόδοσης

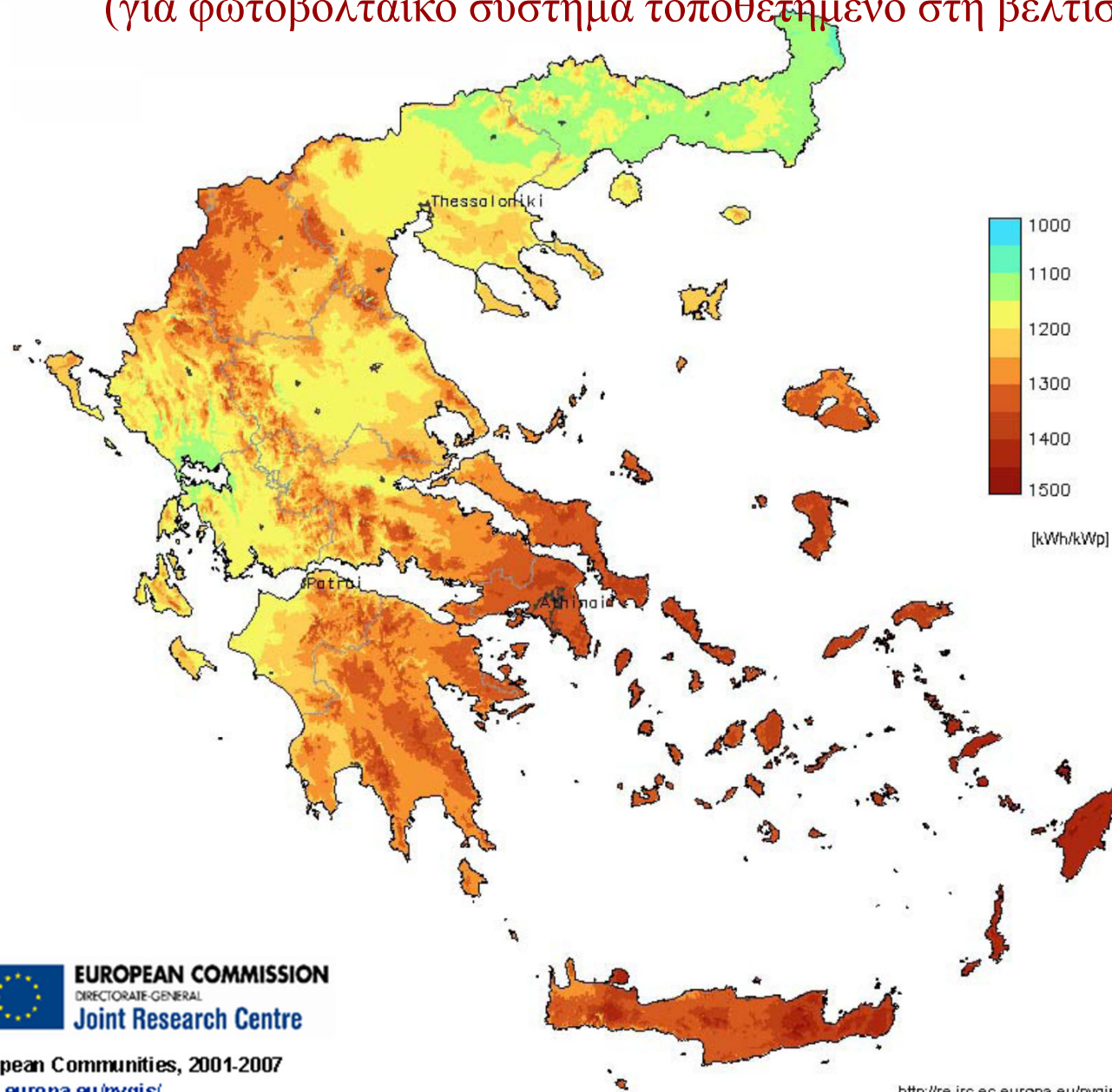
- **Είδος του Φ/Β στοιχείου:** (κρυσταλλικού ή άμορφου πυριτίου)
- **Ημερήσια διακύμανση ηλιακής ακτινοβολίας:** (λόγω εποχής και ώρας)
- **Τοποθεσία περιοχής:** Βορειότερο γεωγραφικό πλάτος → μικρότερη απόδοση
- **Κλίση:** (κατακόρυφη τοποθέτηση → μικρότερη απόδοση)
- **Σκίαση** (φυσικά ή τεχνητά εμπόδια, γειτονικά κτίρια ή αρχιτεκτονικά στοιχεία της ίδιας κατασκευής)
- **Απόκλιση από νότιο προσανατολισμό** (απόκλιση έως και  $20^\circ$  → απόδοση έως και 95% της μέγιστης)
- **Σωστή καλωδίωση και Η/Μ εξοπλισμός** (υδατοστεγανότητα, ανθεκτικότητα στις υψηλές θερμοκρασίες, γείωση του συστήματος)
- **Αερισμός της πίσω πλευράς των Φ/Β στοιχείων:** η αύξηση της θερμοκρασίας τους αντιστρόφως ανάλογη της απόδοσής τους (για κάθε  $1^\circ\text{C}$  άνω των  $25^\circ\text{C}$  → η απόδοση μειώνεται κατά 0,4-0,5%)



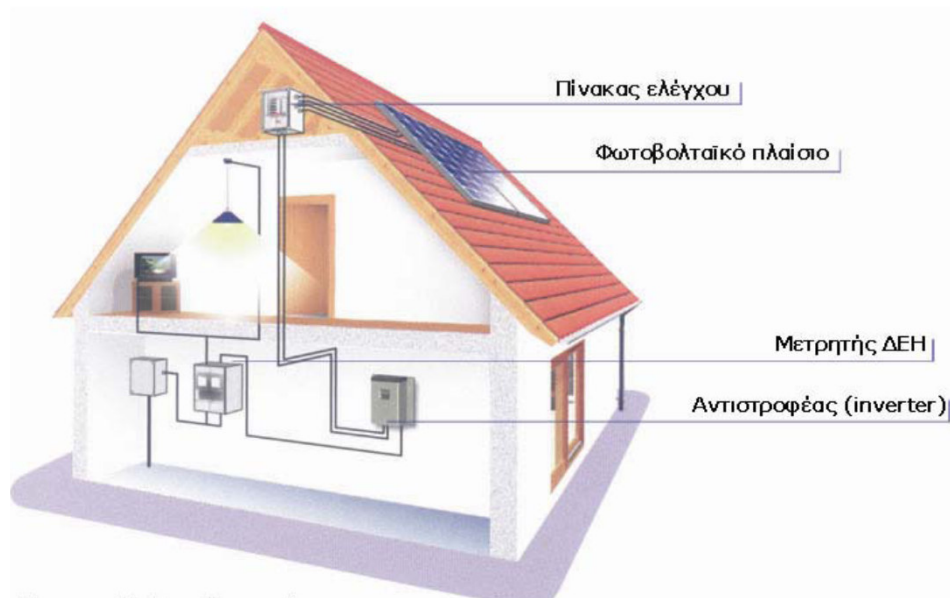
# Φωτοβολταϊκά συστήματα

## Ετήσια παραγωγή ηλεκτρικής ενέργειας (kWh/ kWp)

(για φωτοβολταϊκό σύστημα τοποθετημένο στη βέλτιστη κλίση)

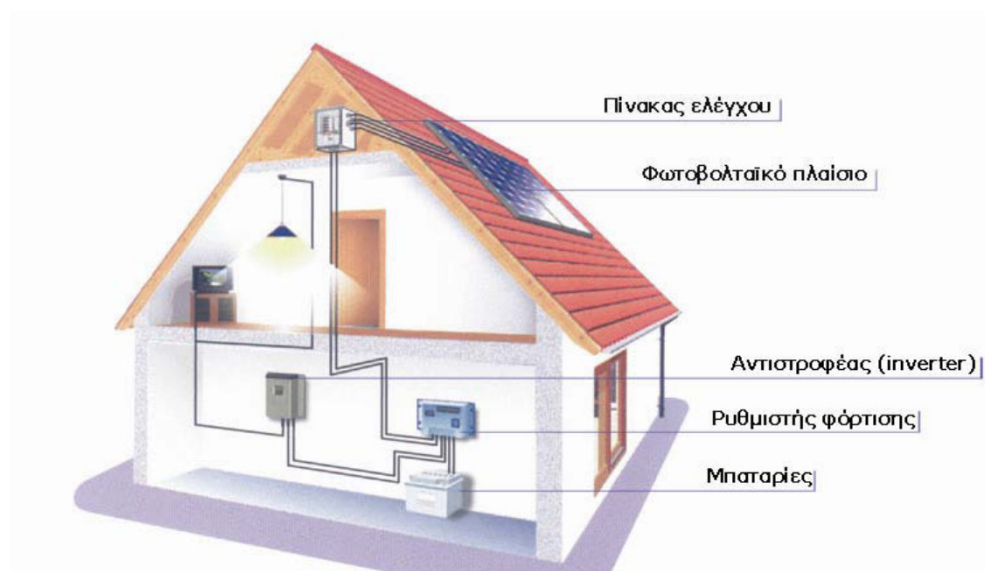


## Φωτοβολταϊκά συστήματα



**Διασυνδεδεμένα:** το σύστημα παραγωγής ηλεκτρικής ενέργειας χρησιμοποιείται σε συνδυασμό με το δίκτυο της Δ.Ε.Η.

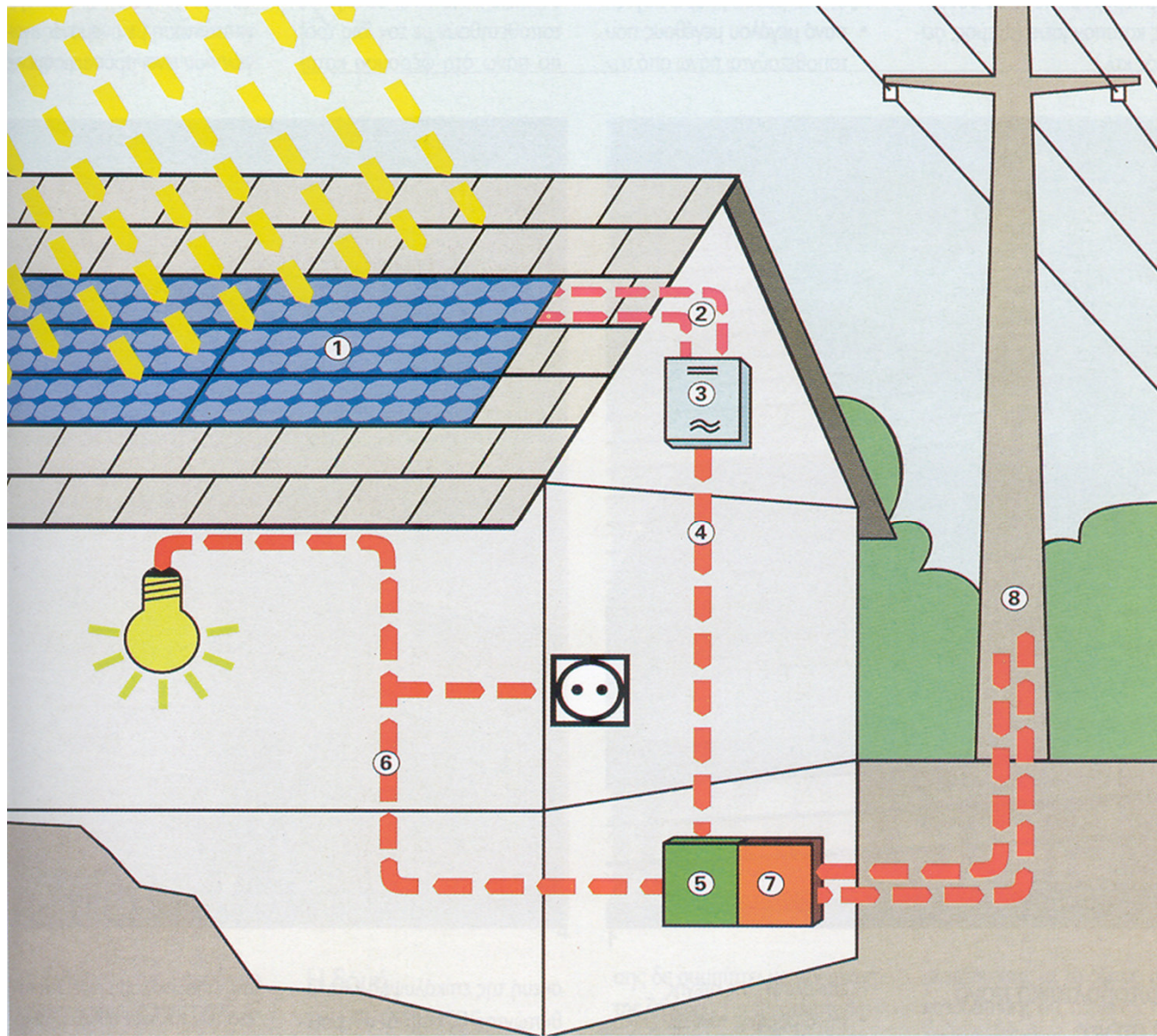
Τοποθετείται διπλός μετρητής για καταμέτρηση εισερχόμενης και εξερχόμενης ηλεκτρικής ενέργειας)



**Αυτόνομα:** για τη συνεχή εξυπηρέτηση, η εγκατάσταση πρέπει να περιλαμβάνει και μια μονάδα αποθήκευσης (μπαταρίες) και διαχείρισης της ενέργειας

# Φωτοβολταϊκά συστήματα

## Σχηματική παράσταση ολοκληρωμένου συστήματος Φ/Β



1. Σύστημα Φ/Β στοιχείων
2. Αγωγός χαμηλής τάσης
3. Μετατροπέας συνεχούς ρεύματος σε εναλλασσόμενο
4. Αγωγός τάσης δικτύου
5. Πίνακας διανομής
6. Ηλεκτρική εγκατάσταση δικτύου
7. Πίνακας με μετρητή ενέργειας διπλής κατεύθυνσης για λήψη και απόδοση ηλεκτρικής ενέργειας
8. Δίκτυο ηλεκτροδότησης της περιοχής

Πηγή: περιοδικό ΚΤΙΡΙΟ, Οκτώβριος 2000)

# Φωτοβολταϊκά συστήματα

## Στάδια κατασκευής



Καθαρισμός & διαμόρφωση περιβάλλοντος χώρου



Οικοδομικές εργασίες



Συναρμολόγηση μεταλλικού σκελετού βάσεων



Σύνδεση ηλεκτρολογικού εξοπλισμού

### Φ/Β σταθμός Αγνάντια

Ο σταθμός είναι εγκατεστημένος σε γήπεδο 11000 m<sup>2</sup>, υψομέτρου 38 m. Ονομαστική ισχύς: **100 kWp**  
Διαθέτει σύστημα ηλιακής ιχνηλάτησης. Συνδέθηκε στο δίκτυο της Δ.Ε.Η. στις 22 Ιανουαρίου 2011.

### Φ/Β σταθμός Μοναστηράκι

Ο σταθμός είναι εγκατεστημένος σε γήπεδο 11000 m<sup>2</sup>, υψομέτρου 32 m. Ονομαστική ισχύς: **100 kWp**  
Χρησιμοποιούνται σταθερές βάσεις για τη στήριξη των φ/β πλαισίων. Συνδέθηκε στο δίκτυο της Δ.Ε.Η. στις 30 Ιουνίου 2011.

**Αποτίμηση λειτουργίας Φωτοβολταϊκών σταθμών, Φ. Μαλτέζος, Διπλωματική εργασία, 2013**

# Φωτοβολταϊκά συστήματα

## Πλαίσια



### Φωτοβολταϊκά πλαίσια

- Ονομαστική ισχύς : 210 W
- Απόδοση φ/β γεννήτριας : 13.4 %
- Θερμοκρασιακός συντελεστής ισχύος: -0.44 %/ °C
- Διαστάσεις (Μ x Π x Υ) : 1650,5×951,3×46 (mm)



### Υπολογισμοί:

Επιφάνεια πλαισίου:

$$1650.5 \text{ mm} \times 951.3 \text{ mm} = \mathbf{1.57 \text{ m}^2}$$

Αν η μέγιστη ισχύς επιτυγχάνεται στα 1000 W/m<sup>2</sup> τότε σε κάθε πλαίσιο προσπίπτουν 1570 W και παράγονται 210 W.

Άρα συντελεστής απόδοσης  $\mathbf{210/1570=13.4\%}$

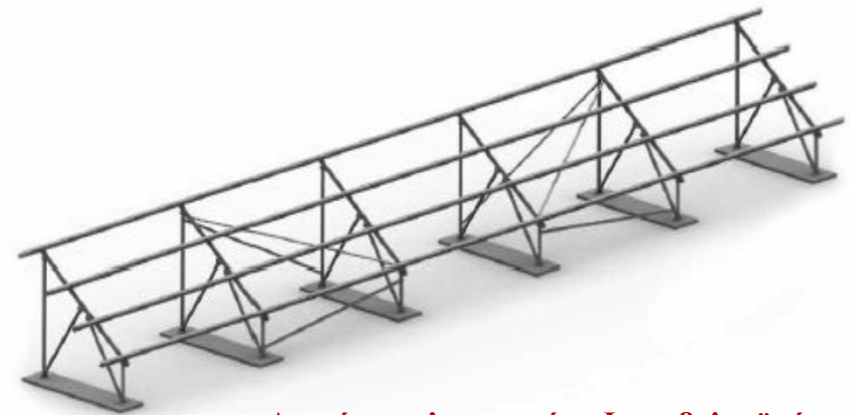
# Φωτοβολταϊκά συστήματα

## Συστήματα στήριξης πλαισίων

Σύστημα ηλιακής ιχνηλάτησης



Σταθερές βάσεις



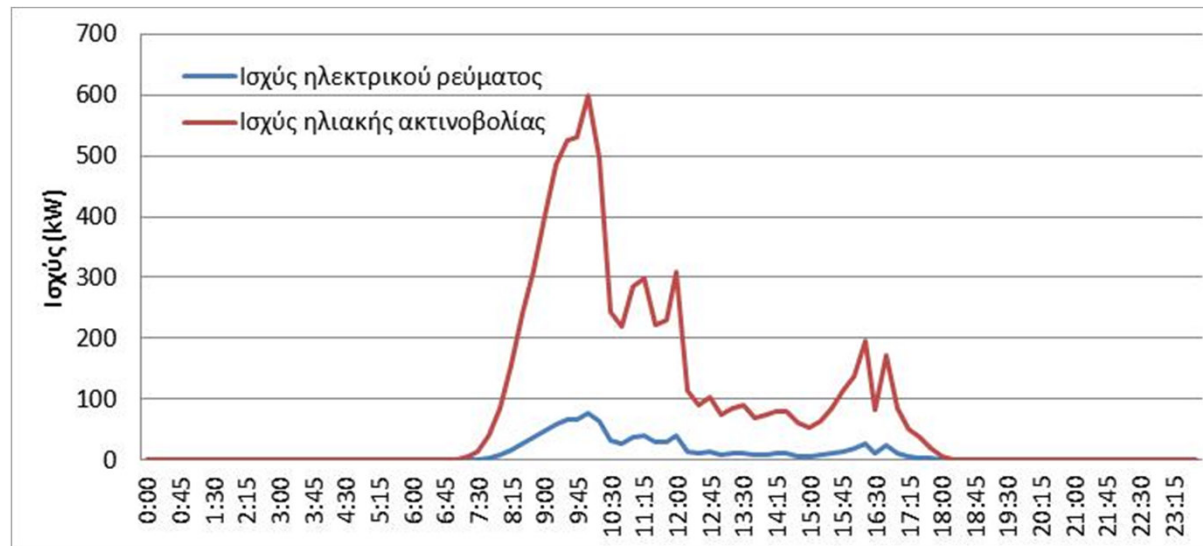
Αποτίμηση λειτουργίας Φωτοβολταϊκών σταθμών, Φ. Μαλτέζος, Διπλωματική εργασία, 2013

# Φωτοβολταϊκά συστήματα

## Απόδοση



21/6/2013

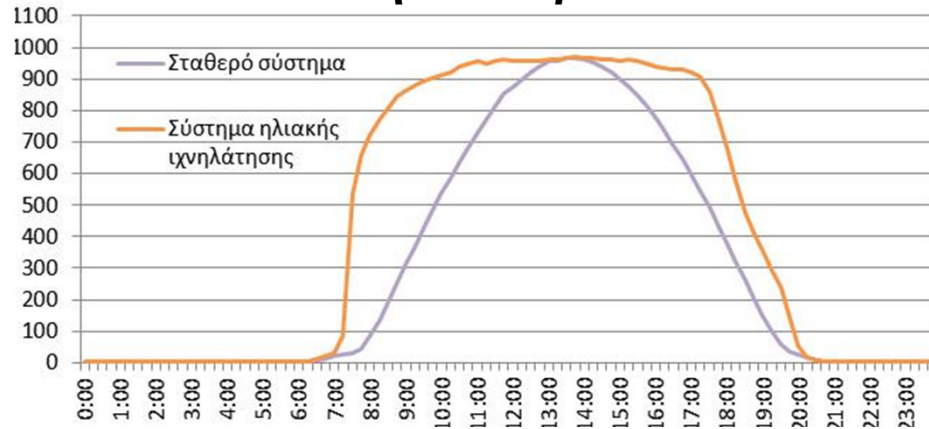


17/2/2013

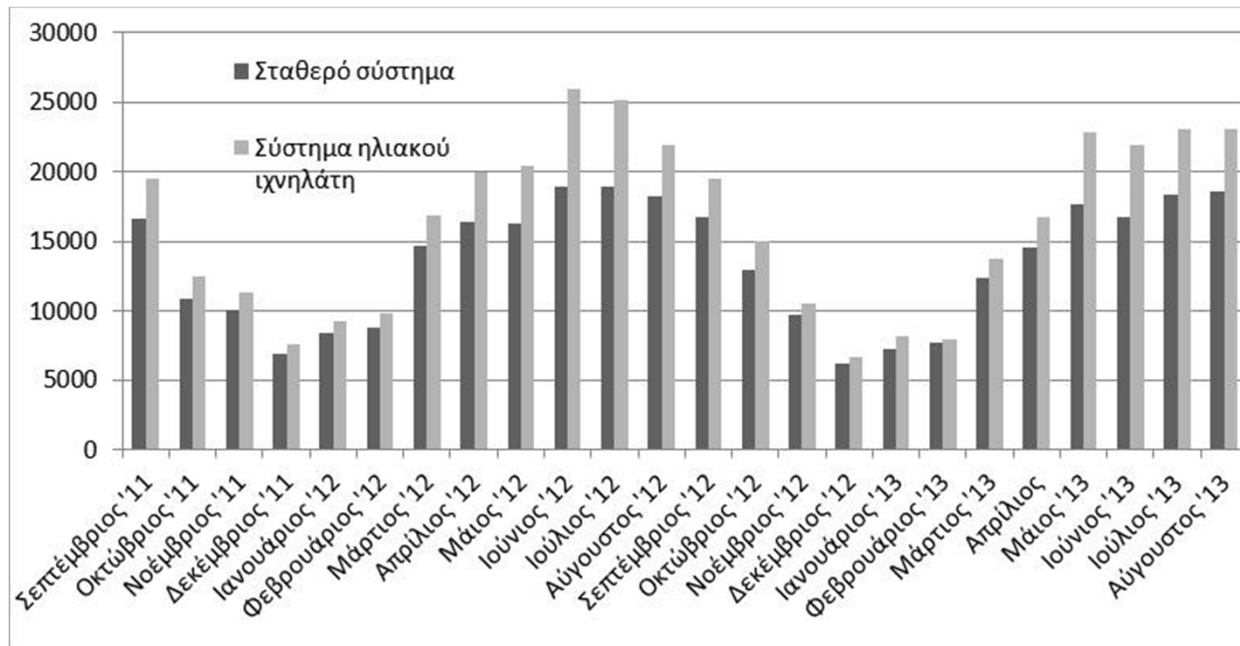
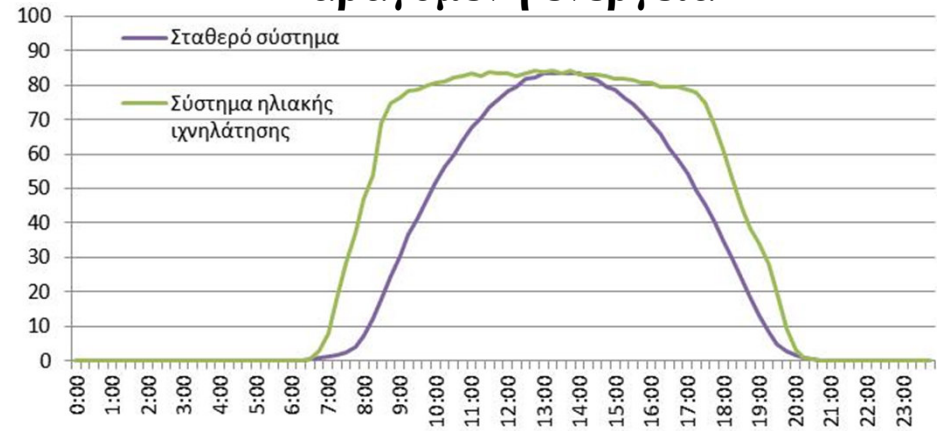
# Φωτοβολταϊκά συστήματα

Σύγκριση σταθερών συστημάτων με συστήματα ηλιακής ιχνηλάτησης

## Ηλιακή ακτινοβολία



## Παραγόμενη ενέργεια





# Στρεβλώσεις

## Τιμολόγηση Ενέργειας από ΑΠΕ

Παραγωγή Ηλεκτρικής Ενέργειας από:	Τιμή Ενέργειας (€/MWh)	
	Διασυνδεδεμένο Σύστημα	Μη Διασυνδεδεμένα Νησιά
Αιολική ενέργεια που αξιοποιείται με χερσαίες εγκαταστάσεις ισχύος > 50 kW	87,85	99,45
Αιολική ενέργεια που αξιοποιείται με εγκαταστάσεις ισχύος ≤ 50 kW	250	
<b>Φωτοβολταϊκά έως 10 kW<sub>peak</sub> στον οικιακό τομέα και σε μικρές επιχειρήσεις (σύμφωνα με το ειδικό πρόγραμμα για Φ/Β σε κτίρια - ΚΥΑ.12323/4.6.2009, Β'1079)</b>	<b>550</b>	
Υδραυλική ενέργεια που αξιοποιείται από μΥΗΣ με εγκατεστημένη ισχύ ≤ 15 MWe	87,85	
Ηλιακή ενέργεια που αξιοποιείται από Ηλιοθερμικούς σταθμούς ηλεκτροπαραγωγής	264,85	
Ηλιακή ενέργεια που αξιοποιείται από Ηλιοθερμικούς σταθμούς ηλεκτροπαραγωγής με σύστημα αποθήκευσης το οποίο εξασφαλίζει τουλάχιστον 2 ώρες λειτουργίας στο ονομαστικό φορτίο	284,85	
Γεωθερμική ενέργεια χαμηλής θερμοκρασίας (Ν.3175/2003, Α'207, αρθ.2, §1στ)	150	
Βιομάζα που αξιοποιείται από σταθμούς με εγκατεστημένη ισχύ ≤ 1 MW (εξαιρουμένου του βιοαποδομήσιμου κλάσματος αστικών αποβλήτων)	200	
Βιομάζα που αξιοποιείται από σταθμούς με εγκατ. ισχύ > 1 MW και ≤ 5 MW (εξαιρουμένου του βιοαποδομήσιμου κλάσματος αστικών αποβλήτων)	175	
Βιομάζα που αξιοποιείται από σταθμούς με εγκατεστημένη ισχύ ≥ 5 MW (εξαιρουμένου του βιοαποδομήσιμου κλάσματος αστικών αποβλήτων)	150	
Βιοαέριο που προέρχεται από Βιομάζα (κτηνοτροφικά και αγροτοβιομηχανικά οργανικά υπολείμματα και απόβλητα) με εγκατεστημένη ισχύ ≤ 3 MW	220	
Λοιπές ΑΠΕ (συμπεριλαμβανομένων και των σταθμών ενεργειακής αξιοποίησης του βιοαποδομήσιμου κλάσματος αστικών αποβλήτων που πληρούν τις προδιαγραφές της Ευρωπαϊκής νομοθεσίας όπως εκάστοτε αυτές ισχύουν)	87,85	99,45
Συμπαράγωγή Ηλεκτρισμού και Θερμότητας Υψηλής Απόδοσης (ΣΗΘΥΑ)	87,85 x ΣΡ (*)	99,45 x ΣΡ (*)

# Στρεβλώσεις

**Εγκατεστημένη (MW)  
ισχύς και παραγωγή  
ενέργειας (GWh)  
Μονάδων ΑΠΕ/ΣΗΘΥΑ  
το 2013**

**ΕΓΚΑΤΕΣΤΗΜΕΝΗ ΙΣΧΥΣ (MW) & ΠΑΡΑΓΩΓΗ ΕΝΕΡΓΕΙΑΣ (GWh) ΜΟΝΑΔΩΝ ΑΠΕ/ ΣΗΘΥΑ για το έτος 2013**

Μήνας	Αιολικά		Φ/Β		Φ/Β Στέγες		ΜΗΥΣ		Βιοαέριο-Βιομάζα		ΣΗΘΥΑ & Κατανεμόμενες ΣΗΘΥΑ		Σύνολο	
	MW	GWh	MW	GWh	MW	GWh	MW	GWh	MW	GWh	MW	GWh	MW	GWh
Ιαν	1.753	408	1.520	113	316	30	218	84	45	18	220	108	4.072	760
Φεβ *	1.782	330	1.741	108	329	21	218	90	45	16	220	95	4.336	660
Μαρ	1.782	430	1.992	192	341	21	218	115	45	18	220	105	4.598	881
Απρ	1.784	312	2.055	262	348	22	218	109	45	18	220	100	4.671	823
Μάι	1.784	304	2.099	296	352	23	218	85	46	18	220	97	4.719	824
Ιουν *	1.784	264	2.134	426	357	37	218	53	46	18	220	94	4.759	892
Ιουλ	1.787	384	2.152	320	363	57	218	42	46	18	220	93	4.785	914
Αυγ	1.809	460	2.156	319	365	59	218	33	46	17	220	95	4.815	983
Σεπ	1.809	222	2.160	285	367	62	218	24	46	17	220	91	4.820	701
Οκτ *	1.810	283	2.195	459	369	57	220	28	46	18	220	78	4.860	924
Νοε	1.810	372	2.208	198	371	53	220	48	47	16	220	106	4.875	793
Δεκ	1.810	369	2.210	191	373	37	220	61	47	18	220	111	4.879	786
Σύνολο Έτους		4.139		3.168		480		772		210		1.173		9.941

\* Μήνες εκκαθάρισης για τα Φ/Β Χαμηλής Τάσης (Διασυνδεδεμένο Σύστημα).

**ΑΞΙΑ (m€) & ΜΕΣΟΣΤΑΘΜΙΚΗ ΤΙΜΗ ΕΝΕΡΓΕΙΑΣ (€/MWh) ΑΠΕ/ ΣΗΘΥΑ για το έτος 2013**

Μήνας	Αιολικά		Φ/Β		Φ/Β Στέγες **		ΜΗΥΣ		Βιοαέριο-Βιομάζα		ΣΗΘΥΑ (1) & Κατανεμόμενες ΣΗΘΥΑ (2)			Σύνολο	
	m€	€/MWh	m€	€/MWh	m€	€/MWh	m€	€/MWh	m€	€/MWh	m€	€/MWh (1)	€/MWh (2)	m€	€/MWh
Ιαν	38,0	92,9	47,4	421,2	16,7	549,9	7,5	90,1	1,9	107,6	6,8	172,1	45,0	118,3	155,5
Φεβ *	30,8	93,1	44,4	412,9	11,3	550,2	8,1	90,1	1,7	104,7	6,1	183,5	45,3	102,4	155,1
Μαρ	39,9	93,0	77,8	405,9	11,2	524,1	10,3	90,1	1,9	106,6	7,9	183,2	59,5	149,1	169,3
Απρ	29,0	93,1	104,0	397,1	14,3	532,1	9,8	90,0	1,9	107,6	7,3	183,2	58,8	166,4	202,3
Μάι	28,3	92,9	116,1	392,2	17,3	534,2	7,7	90,0	1,9	108,3	6,3	180,5	55,3	177,6	215,7
Ιουν *	24,8	93,7	171,4	402,5	19,9	516,3	4,8	90,0	1,9	107,7	6,0	172,7	57,7	228,9	256,5
Ιουλ	36,2	94,2	124,7	389,0	28,7	506,7	3,8	90,0	1,9	108,8	5,4	170,6	52,6	200,7	219,5
Αυγ	43,0	93,3	124,0	388,7	30,1	507,1	2,9	89,9	1,9	107,9	5,3	177,7	51,3	207,2	210,7
Σεπ	20,9	94,2	111,2	389,7	31,4	506,7	2,2	89,9	1,8	106,8	5,2	178,7	48,6	172,6	246,1
Οκτ *	26,4	93,1	187,4	408,0	29,0	506,1	2,5	89,9	1,9	106,5	4,6	180,2	42,3	251,7	272,5
Νοε	34,5	92,7	76,9	389,2	27,0	505,1	4,3	90,0	1,7	105,8	6,0	177,2	41,3	150,4	189,8
Δεκ	34,3	93,0	75,3	393,8	18,7	503,1	5,5	90,0	1,9	106,6	5,5	175,7	27,6	141,1	179,5
Σύνολο Έτους	385,9	93,2	1.260,5	397,8	255,5	514,8	69,5	90,0	22,5	107,1	72,6	179,5	53,7	2.066,4	207,9

\* Μήνες εκκαθάρισης για τα Φ/Β Χαμηλής Τάσης.

\*\* Συμπεριλαμβάνονται και τα στοιχεία των Φ/Β στεγών στα ΜΔΝ. Στα μηνιαία στοιχεία των Γρομηθειών για τα Φ/Β στεγών περιλαμβάνονται και αναδρομικές διορθώσεις είτε στην ενέργεια είτε στις τιτώσεις, με επακόλουθο να μην υπάρχει αναπώληση των δύο μεγεθών και συνεπώς το μεσοσταθμικό κόστος ενέργειας προσδιορίζεται κατ'επίσημο.

**Αξία (m€) και μέση  
τιμή Ενέργειας  
(€/MWh) από  
ΑΠΕ/ΣΗΘΥΑ το 2013**

**Πηγή: ΛΑΓΗΕ, 2013**

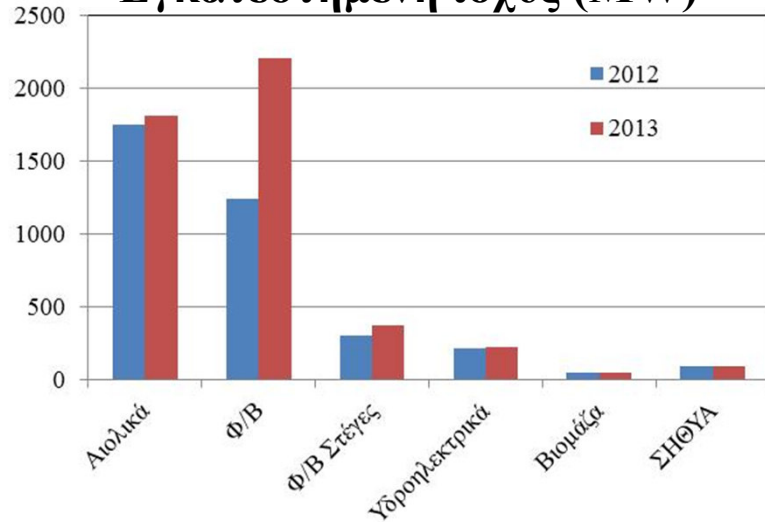
# Στρεβλώσεις

## Μεγάλες επιδοτήσεις σε οικονομικά ασύμφορες ΑΠΕ

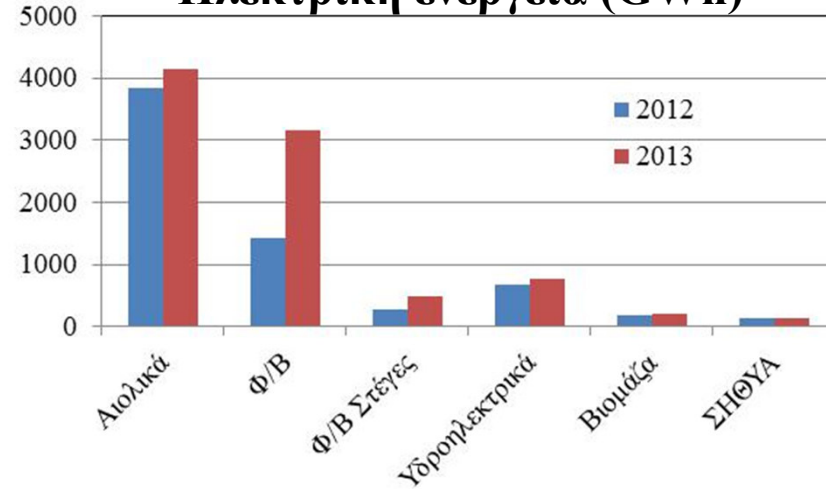
Παρότι, η τιμή της ενέργειας από Φ/Β κοστίζει 5 φορές περισσότερο από τις άλλες ΑΠΕ η εγκατεστημένη ισχύς αυξάνεται.

Μόνο το 2013 πληρώσαμε σχεδόν 1.5 G€ για ηλεκτρική ενέργεια 3.6 TWh από Φ/Β.

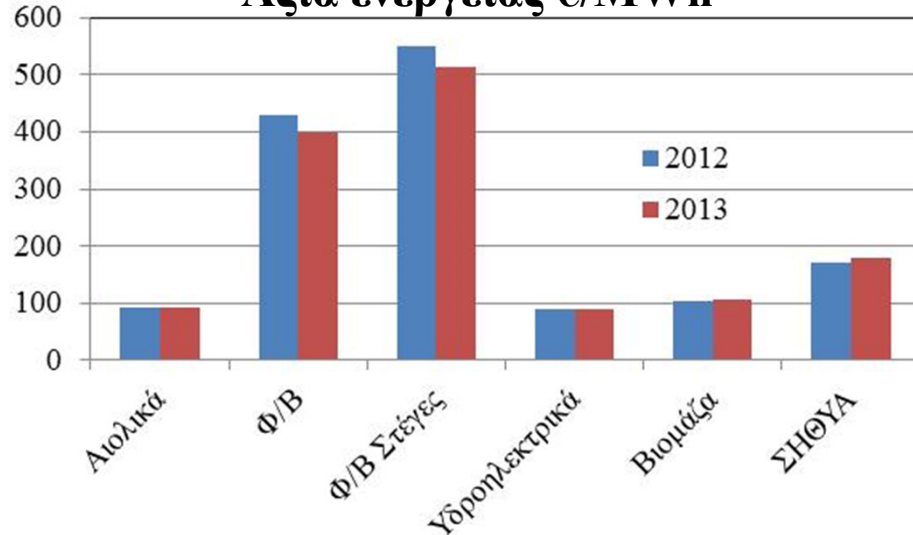
### Εγκατεστημένη ισχύς (MW)



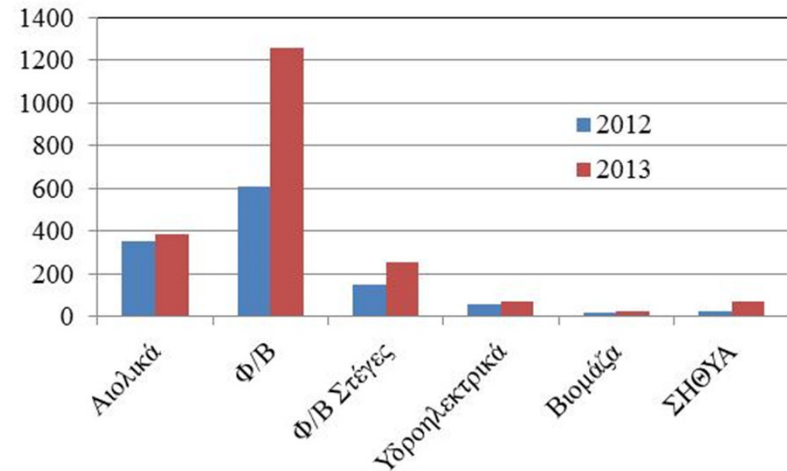
### Ηλεκτρική ενέργεια (GWh)



### Αξία ενέργειας €/MWh



### Πληρωμές (M€)



# Στρεβλώσεις

## Τιμολόγηση Ενέργειας από ΑΠΕ

Ειδικά για τα Φωτοβολταϊκά εισήχθησαν καινούργιες ρυθμίσεις αναπροσαρμόζοντας τις τιμές μεσοπρόθεσμα και συνδέοντάς τες απευθείας με την μέση Οριακή Τιμή του Συστήματος (μΟΤΣ) μακροπρόθεσμα. Πιο συγκεκριμένα, η τιμολόγηση της ενέργειας από Φωτοβολταϊκούς σταθμούς (πλην εκείνων του ειδικού προγράμματος για Φ/Β σε κτίρια) γίνεται με βάση τον ακόλουθο πίνακα:

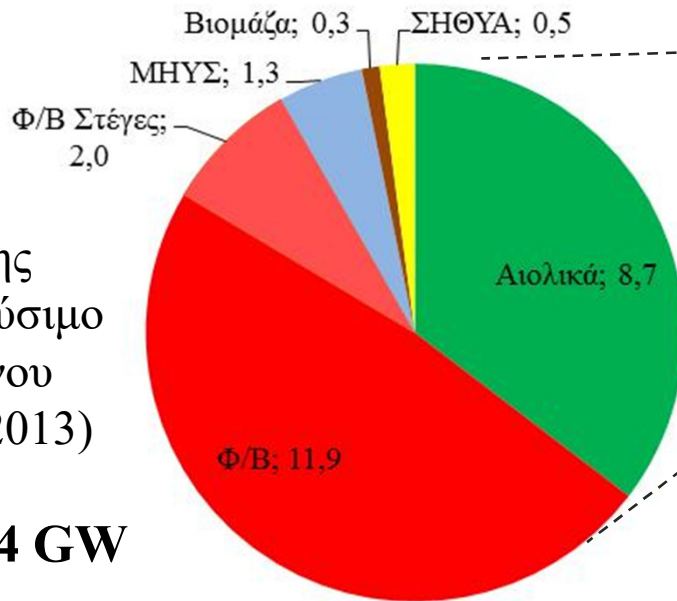
έτος / Μήνας	Τιμή Ενέργειας (€/MWh)		
	Διασυνδεδεμένο Σύστημα		Μη Διασυνδεδεμένα Νησιά
	A	B	Γ
	>100 kW	<=100 kW	>100 kW
2009 Φεβρουάριος	400,00	450,00	450,00
2009 Αύγουστος	400,00	450,00	450,00
2010 Φεβρουάριος	400,00	450,00	450,00
2010 Αύγουστος	392,04	441,05	441,05
2011 Φεβρουάριος	372,83	419,43	419,43
2011 Αύγουστος	351,01	394,89	394,89
2012 Φεβρουάριος	333,81	375,54	375,54
2012 Αύγουστος	314,27	353,55	353,55
2013 Φεβρουάριος	298,87	336,23	336,23
2013 Αύγουστος	281,38	316,55	316,55
2014 Φεβρουάριος	268,94	302,56	302,56
2014 Αύγουστος	260,97	293,59	293,59
Για κάθε έτος ν από το 2015 και μετά	1,3 χμΟΤΣ <sub>ν-1</sub>	1,4 χμΟΤΣ <sub>ν-1</sub>	1,4 χμΟΤΣ <sub>ν-1</sub>

## Νέες Τιμές Πώλησης Ηλεκτρικής Ενέργειας

Μήνας / Έτος	Τιμή (€/MWh)
Αύγουστος 2012	250,00
Φεβρουάριος 2013	238,75
Αύγουστος 2013	228,01
Φεβρουάριος 2014	217,75
Αύγουστος 2014	207,95
Φεβρουάριος 2015	198,59
Αύγουστος 2015	189,65
Φεβρουάριος 2016	181,12
Αύγουστος 2016	172,97
Φεβρουάριος 2017	165,18
Αύγουστος 2017	157,75
Φεβρουάριος 2018	150,65
Αύγουστος 2018	143,87

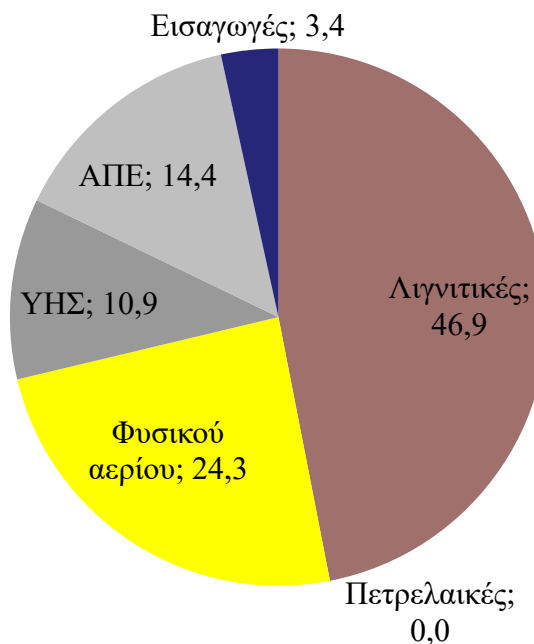
## Στρεβλώσεις Δυσμενές ενεργειακό μίγμα

Ποσοστό (%) εγκατεστημένης ισχύος ανά καύσιμο διασυνδεδεμένου συστήματος (2013)

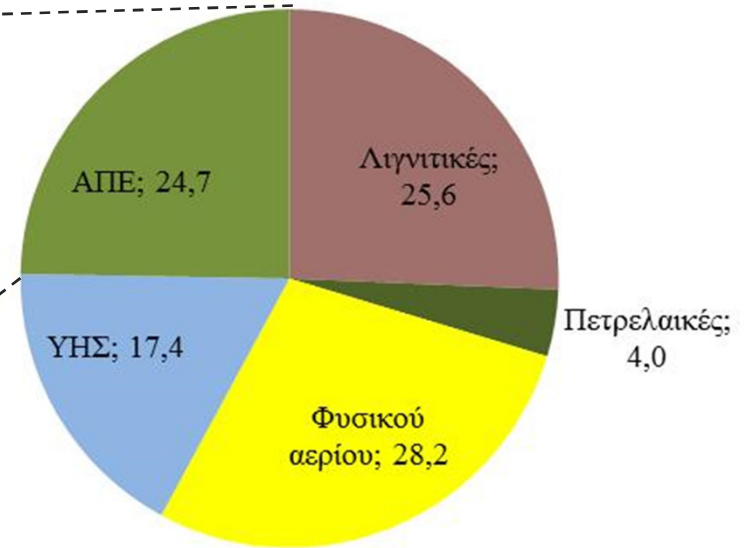


**Σύνολο: 17.4 GW**

Ποσοστό (%) παραγωγής ενέργειας ανά καύσιμο διασυνδεδεμένου συστήματος (2013)



**Σύνολο: 50 TWh**



### Το Πακέτο 20-20-20

Με στόχο την αντιμετώπιση της κλιματικής αλλαγής η ΕΕ στις 9/3/2007 έθεσε τρεις στόχους μέχρι το 2020:

- μείωση της κατανάλωσης ενέργειας κατά 20%,
- συμμετοχή των ΑΠΕ στην παραγωγή ηλεκτρικής ενέργειας σε 20% και
- μείωση των εκπομπών CO<sub>2</sub> κατά τουλάχιστον 20% σε σχέση με τα επίπεδα του 1990

***Ειδικότερα από την Ελλάδα απαιτείται μείωση κατά 4% των εκπομπών του CO<sub>2</sub> μέχρι το 2020***

# Στρεβλώσεις

## Παραγωγή και χωρίς ήλιο

### Spanish nighttime solar energy fraud 'unlikely in UK'

Ecologist

18th April, 2010



**In the month that renewable energy incentives are introduced in the UK, Spanish authorities are investigating companies who claim to have produced solar energy at night**

Authorities in Spain have launched an investigation into solar energy installations that have been selling electricity apparently generated at night.

The Spanish government called on the National Energy Commission (CNE) to look into the matter after a newspaper investigation discovered irregularities in the times at which solar energy was being generated.

Spanish newspaper *El Mundo* found that between November and January, 4500 megawatt hours (MWh) of solar energy were sold to the electricity grid between midnight and seven in the morning.

It has been suggested that some plants in the regions of Castilla-La-Mancha, Canarias and Andalucía have been using diesel generators connected to their solar panel arrays to illegally benefit from government subsidies.

FOTOVOLTAICAS QUE 'PRODUCEN' DE NOCHE

### Industria pide a la CNE que adopte las medidas oportunas contra el fraude de la energía solar

- Sospechas sobre el uso de generadores de gasoil para cobrar las primas
- La Asociación de la Industria Fotovoltaica pide 'limpiar' su imagen

Actualizado miércoles 14/04/2010 12:59

Baltasar Montaña

Madrid.- El secretario de Estado de Energía, Pedro Marín, ha remitido una carta a la Comisión Nacional de la Energía (CNE) en la que le pide la adopción de las medidas que sean necesarias contra el gran fraude detectado en el sector de la energía fotovoltaica.

Hay plantas solares en Castilla-La Mancha, Canarias y Andalucía, principalmente, que están toda la noche produciendo energía pese a que el Sol se ha ido a las antípodas, según los datos de Industria [revelados por EL MUNDO](#).

La Asociación de la Industria Fotovoltaica (Asif) se ha sumado a la "exigencia" de una investigación acerca de las "supuestas actuaciones ilícitas" en la actividad fotovoltaica y asegura que "hay que identificar a los culpables para limpiar la imagen del sector", según ha denunciado en un comunicado.

Según los datos del Gobierno, entre noviembre y enero, en pleno invierno, el sistema eléctrico recibió 4.500 megavatios/hora producidos por plantas solares entre la medianoche y las siete de la mañana, más otros 1.500 entre las 19.00 y las 23.00 horas.

¿Cómo se generaron estos megavatios? Según los primeros indicios,

## Στρεβλώσεις

### Παραγωγή από Φ/Β στο διασυνδεδεμένο σύστημα (2015)

ΜΗΝΑΣ	ΕΝΕΡΓΕΙΑ (MWh)	ΙΣΧΥΣ (MW)		ΣΥΝΤΕΛΕΣΤΗΣ ΦΟΡΤΙΣΗΣ (%) (**)
		ΣΥΝΟΛΙΚΑ ΣΥΜΒΟΛΑΙΟΠΟΙΗΜΕΝΗ	ΕΓΚΑΤΕΣΤΗΜΕΝΗ	
Ιανουάριος	169.872,27	3.082	2.087,42	10,94%
Φεβρουάριος*	164.989,25	3.082	2.091,82	11,74%
Μάρτιος	218.546,71	3.082	2.092,06	14,04%
Απρίλιος	318.469,19	3.082	2.092,06	21,14%
Μάιος	339.542,55	3.082	2.092,06	21,81%
Ιούνιος*	320.584,15	3.082	2.092,06	21,28%
Ιούλιος	374.984,89	3.082	2.092,06	24,09%
Αύγουστος	350.055,00	3.082	2.092,06	22,49%
Σεπτέμβριος	286.558,00	3.083	2.091,97	19,02%
Οκτώβριος*	221.592,31	3.083	2.092,07	14,24%
Νοέμβριος	210.832,05	3.083	2.092,56	13,99%
Δεκέμβριος	195.219,29	3.083	2.093,02	12,54%
<b>ΣΥΝΟΛΟ (MWh)</b>	<b>3.171.245,67</b>	* Μήνες εκκαθαριστικών λογαριασμών για τα Φ/Β ΧΤ		

## Στρεβλώσεις

### Ανάλυση λογαριασμού ΔΕΗ (19/6-20/10/2015-124 ημέρες)

Ενέργεια (kWh)	1864	Ημερήσια: 1253 Νυχτερινή: 611
Χρέωση προμήθειας ρεύματος (€)	166 (49%)	Πάγιο: 5+2 Ημερήσια: 119 (0.095 € /kWh) Νυχτερινή: 40 (0.066 € /kWh)
Ρυθμιζόμενες χρεώσεις (€)	104 (31%)	Ελληνικό σύστημα μεταφοράς: 8 Ελληνικό σύστημα διανομής: 32 Υπηρεσίες κοινής ωφέλειας: 14 <b>Ειδικό τέλος ΑΠΕ: 49 (0.026 € /kWh)</b> Λοιπές χρεώσεις: 1
Χρεώσεις που αποδίδονται στο κράτος (€)	29 (9%)	Ειδικό τέλος 5%/οο: 1 ΕΦΚ:4 ΦΠΑ: 24
Άλλες χρεώσεις (€)	38 (11%)	Δήμος: 33 ΝΕΡΙΤ: 6 ΕΕΤΑ: 0
<b>Σύνολο λογαριασμού (€)</b>	<b>337</b>	